

超音速および極超音速における円柱列の研究

第3報 超音速における平行円柱列の抵抗

河 村 龍 馬
沢 田 孝 士*
関 和 市

Study of Row of Circular Cylinders in Supersonic
and Hypersonic Flow

3. Drag of Row of Parallel Circular Cylinders in Supersonic Flow

By

Ryuma KAWAMURA, Takashi SAWADA
and Kazuichi SEKI

Abstract: Wind tunnel investigation on drag of row of parallel cylinders placed in a supersonic flow of Mach number 2 is presented. The number of cylinders tested in one row is two, three and five, respectively. The length and diameter of each cylinder are 110 mm. and 12 mm., respectively, and Reynolds number referred to the diameter is 3×10^5 . Drag of each cylinder is measured separately by use of strain wire gauge. Results show that the mean drag coefficient of the rows with the same distance between cylinders increases as the number of cylinder increases. Three-dimensional shape of bow shock wave is fairly well determined by combining Schlieren photographs taken vertically and horizontally, from which it is possible to evaluate shock drag due to bow shock. In case of two cylinder row, the bow shock drag coefficient increases slowly from 0.72 to 0.75 as the distance between cylinders varies from zero to 30 mm. Assumption of one-dimensional nozzle flow between the cylinders together with the position of stagnation point obtained in Schlieren photographs makes it possible to calculate pressure drag on the cylinder due to the nozzle flow. It is found that, in case of two cylinder row, the sum of those estimated drags due to bow shock, nozzle flow and small friction drag agrees well with the measured total drag.

概 要

Mach 数 2 の超音速の流れの中におかれた平行円柱列の抵抗についての風洞による研究が述べられている。一つの列の中の円柱の数は、それぞれ 2, 3, および 5 本である。各々の円柱の長さ、および直径は、それぞれ 110 mm, および 12 mm である。そして直径に關

* 北海道学芸大学

する Reynolds 数は 3×10^5 である。各々の円柱の抵抗は、線ひずみ計を用いて個々に測定されている。その結果によると、平均抵抗係数は、円柱間の距離が等しい場合には、円柱の数が増すと共に、大きくなることが示されている。弧状衝撃波の三次元的形状は、鉛直および水平に置いて撮影した Schlieren 写真を組合せることによって、適切に決定される。そのことから弧状衝撃波による造波抵抗が計算されうる。2 本の円柱列の場合には、円柱間の距離が零から 30 mm に変るとき、造波抵抗係数は 0.72 から 0.75 へと、ゆるやかに増加する。円柱間に一次元の nozzle の流れを仮定し、Schlieren 写真からえられたよどみ点の位置を考慮に入れると、nozzle の流れにもとづく、円柱に対する圧力抵抗を計算することができる。弧状衝撃波、および nozzle の流れにもとづく抵抗を加え、更にわずかな摩擦抵抗をつけ加えると、測定された全抵抗ときわめてよく一致する値がえられる。

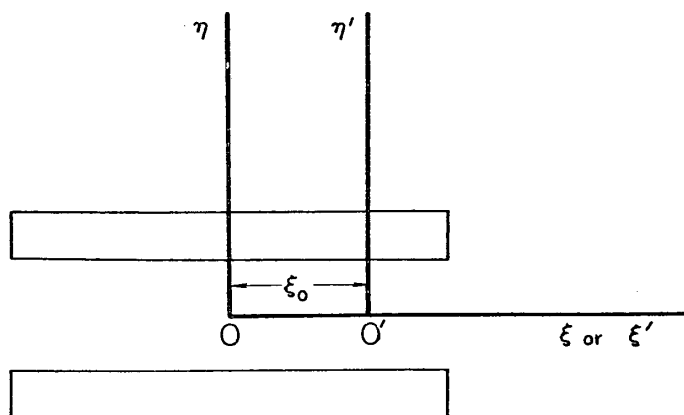
1. 2 本の平行な円柱の抵抗

1. 弧状衝撃波による造波抵抗

Mach 数 2 なる超音速における 2 本の平行な円柱の抵抗係数 C_D の実測値については、すでに第 1 報 [1] において詳しく報告した。また Schlieren 法による流れの観察を行ない、弧状衝撃波による造波抵抗についても若干の計算の結果を示した。その際、簡単のため円柱の軸方向に関しては、すべて流れは一様であることを仮定し、二次元的に扱った。それによって実測値を解析的に理解するために有益な知識がえられたが、定量的に理解するためには、二次元的近似は不充分である。我々の用いた円柱の aspect ratio は 10 に満たないものであるから、end effect はかなり大きいと思われる。したがって弧状衝撃波を三次元的に解析する必要がある。

第 1 報、図版 4~7 に示したように、各 case ともに円柱を水平および鉛直に置いて Schlieren 写真を撮影したから、たがいに直角方向にある二つの shock envelope を解析することができる。しかしそれ以外の方向の shock envelope がどのような形をしているかは、直接知ることはできない。したがって何らかの仮定を設けて、二つの shock envelope を連続的に結びつけるほかない。

第 1 図に示したように、円柱列の中心に原点 O をとり、円柱の軸の方向に ξ 軸、それと



第 1 図

直角方向に η 軸をとることにする。完全に二次元の流れであるなら、 ξ 軸にそなて円柱の全長にわたり normal shock が見られるはずである。しかし図版の写真からわかるように、円柱の両端には斜めの shock wave が見られる。そこで直角にきわめて近いある角度を定め、そこまでは二次元の流れとしての取扱いを許すという方法を探った。

第1報(11)式において、一様流れの単位面積当りの造波抵抗係数 C_{DW/cm^2} と、円柱の直径 d との積が与えられている。これを Φ で示すと、 Φ は shock envelope の傾きの角度 β の関数である。すなわち

$$\Phi(\beta) = d \cdot C_{DW/cm^2} \quad (1)$$

である。 Φ と β との関係は第1報、第19図に示してあるが、正確を期するため第1表に数值をかかげておく。

第1表

まず写真より shock envelope の形を記録し、その傾きの角度を曲線にそなて適当な間隔で読んでゆき、各点における Φ を求め、 $\Phi(\xi)$ 、 $\Phi(\eta)$ の曲線を作図する。 Φ は原点において 0.1265 の値をとり、はじめ比較的ゆるやかに減少し、あるところから急に減衰する。そして 0.01 あたりから再びゆるやかな裾野を作りつつ、風洞の壁のあたりで完全に 0 になってしまう。そこで二次元流としての限界点を ξ_0 とし、つぎのような仮定をおこなった：

$$\Phi(\xi_0) = 0.126 \quad (2)$$

| β | $d \cdot C_{DW/cm^2}$ | β | $d \cdot C_{DW/cm^2}$ |
|---------|-----------------------|---------|-----------------------|
| 90° | 0.1265 | 60° | 0.0634 |
| 87 | 0.1258 | 57 | 0.0535 |
| 84 | 0.1236 | 54 | 0.0434 |
| 81 | 0.1200 | 51 | 0.0336 |
| 78 | 0.1148 | 48 | 0.0248 |
| 75 | 0.1086 | 45 | 0.0167 |
| 72 | 0.1013 | 42 | 0.0101 |
| 69 | 0.0930 | 39 | 0.0054 |
| 66 | 0.0838 | 36 | 0.0018 |
| 63 | 0.0735 | 33 | 0.0003 |
| | | 30 | 0.0000 |

この点における傾きの角度は $\beta=87.4^\circ$ である。 $OO'=\xi_0$ 上においては二次元流であるから

$$\Phi(0, \eta) = \Phi(\xi_0, \eta') \quad (3)$$

である。いま $\Phi(\eta)$ 曲線上において $\Phi=\Phi_1, \Phi_2$ をあたえる $\eta=\eta_1, \eta_2$ を読みとる。するとこの部分の造波抵抗への寄与は

$$\Delta_1 C_{DW} = \frac{\Phi_1 + \Phi_2}{2} \cdot 4\xi_0(\eta_2 - \eta_1) \quad (4)$$

で与えられる。この総和を Σ_1 とすると

$$\Sigma_1 = \sum_{\phi=0}^{0.1265} \Delta_1 C_{DW} \quad (5)$$

で与えられる。

つぎに $\Phi(\xi)$ 曲線上において $\Phi=\Phi_1, \Phi_2$ をあたえる $\xi=\xi_1, \xi_2$ を読み、 $\xi'_1 = \xi_1 - \xi_0$ 、 $\xi'_2 = \xi_2 - \xi_0$ とする。そして O' を原点とし、 $\xi'_1, \eta'_1 = \eta_1$ および $\xi'_2, \eta'_2 = \eta_2$ をそれぞれ半軸とする橢円を作る。この二つの橢円によってはさまれた面による C_{DW} への寄与は

$$\Delta_2 C_{DW} = \frac{\Phi_1 + \Phi_2}{2} \cdot \pi(\xi'_2 \eta'_2 - \xi'_1 \eta'_1) \quad (6)$$

である。この総和を Σ_2 とすると

$$\Sigma_2 = \sum_{\phi=0}^{0.126} \Delta_2 C_{DW} \quad (7)$$

(5), (7) 式より孤状波の造波抵抗係数 $C_{DW, Bow}$ は

$$C_{DW, Bow} = \frac{\Sigma_1 + \Sigma_2}{ndL} \quad (8)$$

で与えられる。ここで n は円柱の数、 L は円柱の長さである。

もう少し別の計算法が考えられる。すなわち ξ_0 を定めたのと全く同じように η_0 を求め、橜円の原点を (ξ_0, η_0) に置く方法である。この場合は (5) 式と同じような方法を用い、 ξ 軸に沿うて

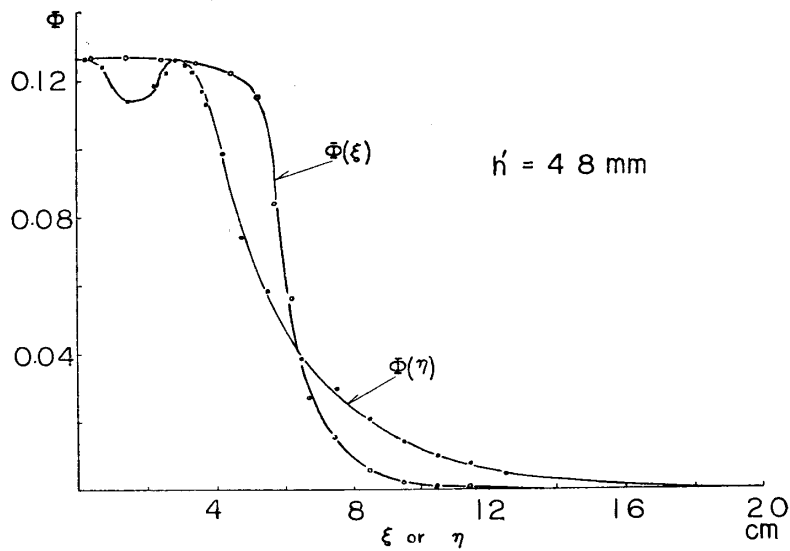
$$\Sigma_3 = \sum_{\phi=0}^{0.126} \Delta_3 C_{DW} \quad (9)$$

を計算する。 $C_{DW, Bow}$ は

$$C_{DW, Bow} = \frac{\Sigma_1 + \Sigma_2 + \Sigma_3}{ndL} \quad (10)$$

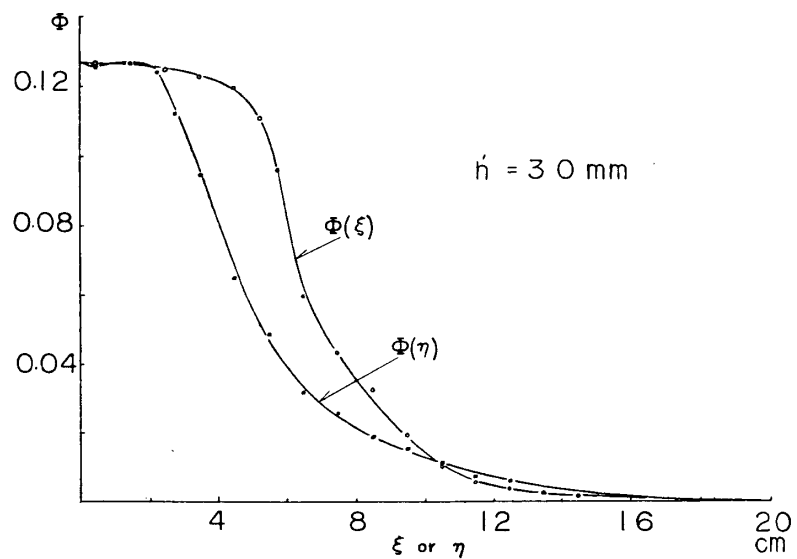
で与えられる。(8) 式と (10) 式といづれが正しい値を与えるかということは、実際に二つの方法で計算し、結果をいろいろ検討した上で経験的に判断するほかはない。

第 2~8 図に、 $h' = 48, 30, 20, 10, 5, 2, 0.5$ mm における $\Phi(\xi)$, $\Phi(\eta)$ の曲線を示してある。実測値を示す点は、いずれも滑かな曲線の上にのっており、測定精度はかなり良いことがわかる。しかし多くの場合 $\xi = 7 \sim 8$ cm のあたりに曲線に乗らない点が見いだされたが、これは model を支持している楔の影響である。実際に $C_{DW, Bow}$ を計算するときは、(4) または (6) 式の算術平均 $(\Phi_1 + \Phi_2)/2$ が許される程度まで Φ を細かく刻んで、それに対する ξ , η を読んだ。その結果は第 2 表に示してある。

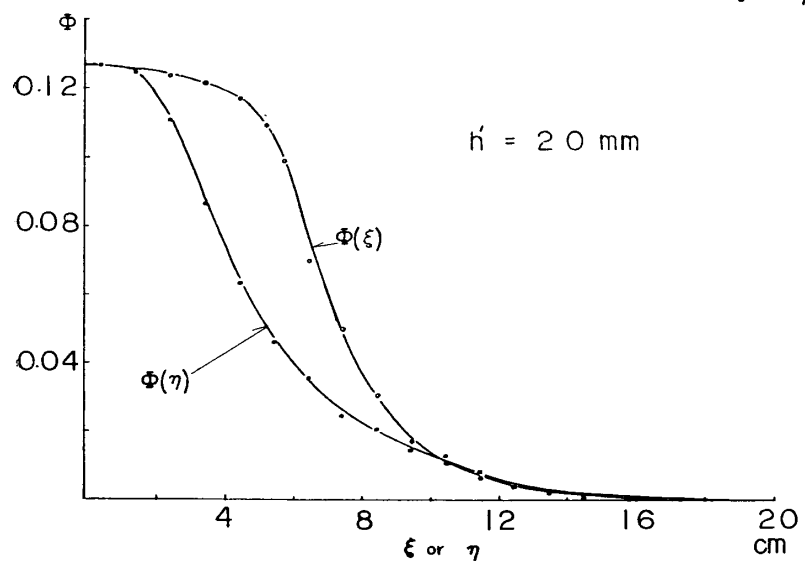


第 2 図

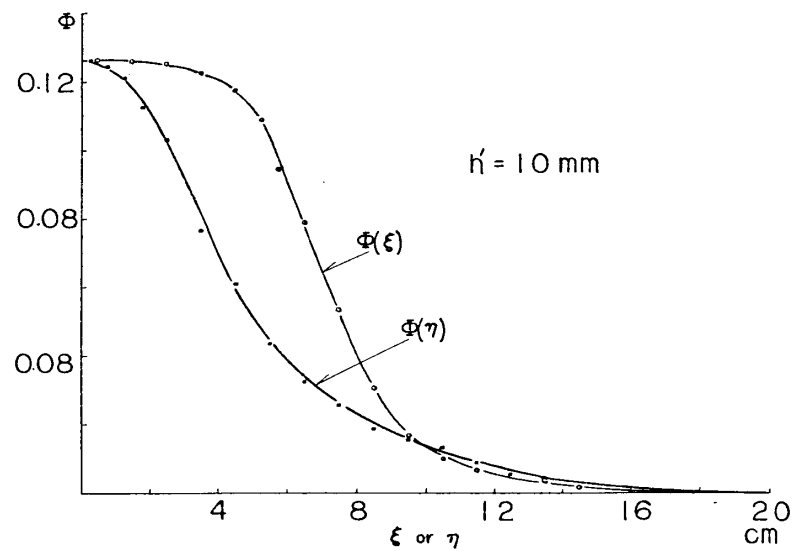
第3図

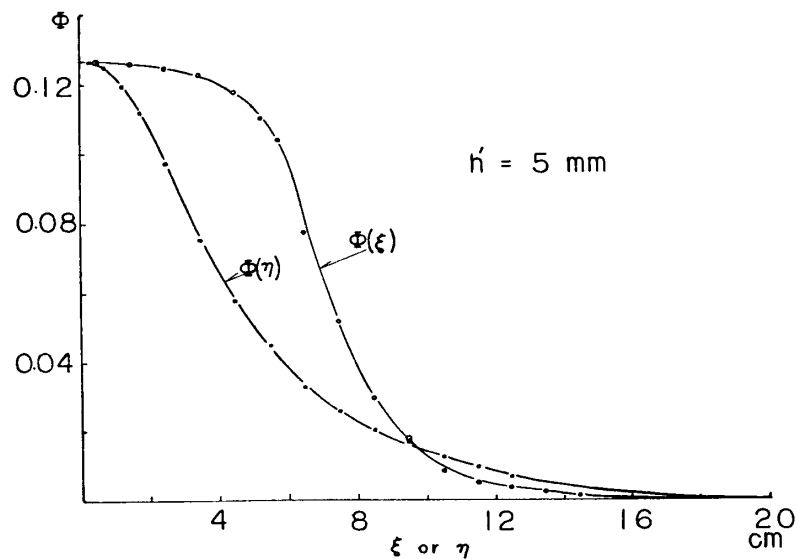


第4図

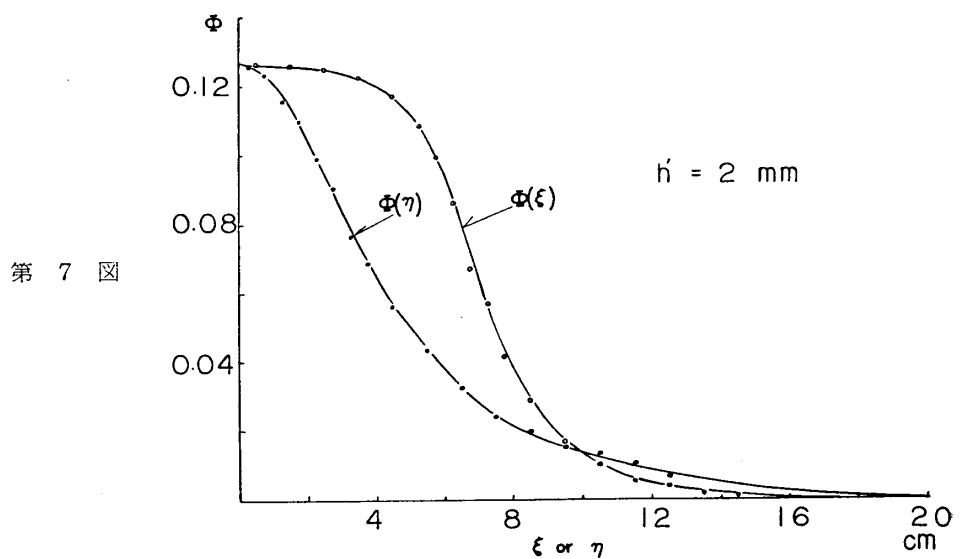


第5図

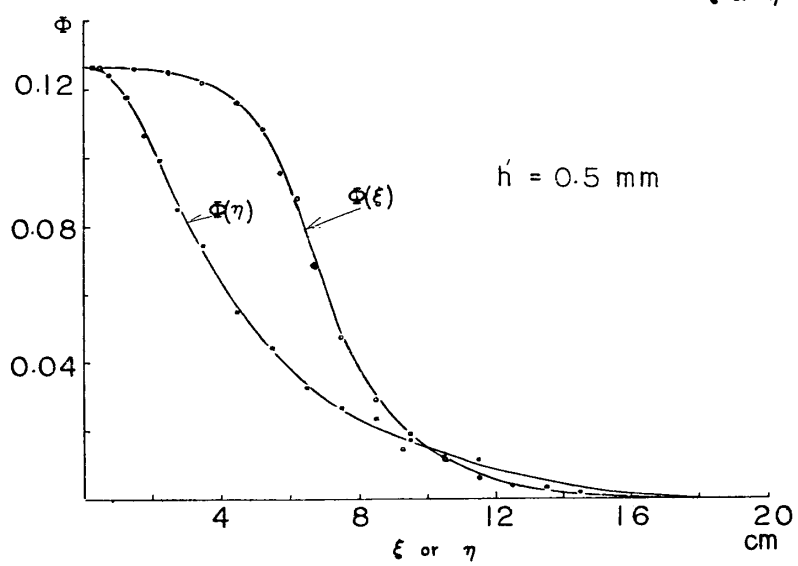




第 6 図



第 7 図



第 8 図

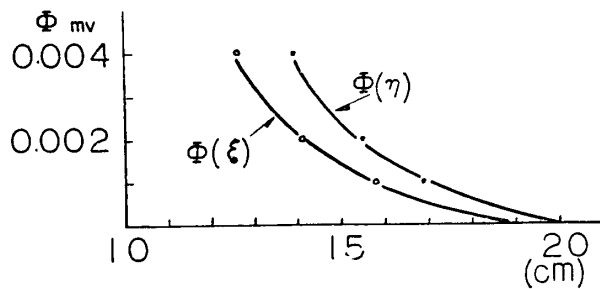
第2表

| $d \cdot C_{DW}/\text{cm}^2$ | $h' = 48 \text{ mm}$ | | 30 | | 20 | | 10 | | 5 | | 2 | | 0.5 | | |
|------------------------------|----------------------|----------------|-------|--------|--------|--------|-------|--------|-------|--------|--------|--------|--------|--------|---------------|
| | ξ (cm) | η (cm) | ξ | η | ξ | η | ξ | η | ξ | η | ξ | η | ξ | η | |
| 0.126 | 2.5 | 3.1 | 1.8 | 1.4 | 1.3 | 1.0 | 1.7 | 0.3 | 1.2 | 0.4 | 1.5 | 0.3 | 1.5 | 0.4 | |
| .124 | 3.9 | 3.3 | 3.0 | 2.25 | 2.5 | 1.5 | 3.1 | 0.8 | 2.7 | 0.8 | 3.0 | 0.7 | 2.9 | 0.8 | |
| .122 | 4.5 | 3.45 | 3.8 | 2.35 | 3.4 | 1.75 | 3.7 | 1.1 | 3.55 | 1.05 | 3.65 | 0.9 | 3.6 | 0.9 | |
| .120 | 4.8 | 3.55 | 4.3 | 2.45 | 3.9 | 1.9 | 4.1 | 1.35 | 4.0 | 1.25 | 4.05 | 1.05 | 4.0 | 1.1 | |
| .116 | 5.2 | 3.7 | 4.8 | 2.64 | 4.64 | 2.2 | 4.65 | 1.7 | 4.7 | 1.5 | 4.6 | 1.35 | 4.6 | 1.35 | |
| .110 | 5.48 | 3.9 | 5.26 | 2.9 | 5.2 | 2.55 | 5.15 | 2.1 | 5.3 | 1.9 | 5.14 | 1.7 | 5.1 | 1.7 | |
| .100 | 5.7 | 4.17 | 5.7 | 3.3 | 5.72 | 3.0 | 5.65 | 2.6 | 5.9 | 2.4 | 5.72 | 2.22 | 5.7 | 2.2 | |
| .090 | 5.78 | 4.4 | 5.87 | 3.7 | 6.05 | 3.4 | 6.0 | 3.1 | 6.25 | 2.8 | 6.14 | 2.7 | 6.1 | 2.6 | |
| .080 | 5.85 | 4.66 | 6.03 | 4.02 | 6.35 | 3.8 | 6.4 | 3.5 | 6.5 | 3.3 | 6.46 | 3.2 | 6.4 | 3.1 | |
| .070 | 5.96 | 5.0 | 6.24 | 4.37 | 6.7 | 4.2 | 6.8 | 3.95 | 6.8 | 3.8 | 6.77 | 3.66 | 6.8 | 3.65 | |
| .060 | 6.1 | 5.4 | 6.6 | 4.8 | 7.0 | 4.7 | 7.2 | 4.4 | 7.2 | 4.35 | 7.1 | 4.25 | 7.1 | 4.25 | |
| .050 | 6.21 | 5.86 | 7.05 | 5.3 | 7.4 | 5.25 | 7.6 | 5.05 | 7.55 | 5.0 | 7.45 | 4.98 | 7.4 | 4.9 | |
| .040 | 6.4 | 6.4 | 7.7 | 5.9 | 7.9 | 6.0 | 8.05 | 5.75 | 7.95 | 5.85 | 7.9 | 5.8 | 7.9 | 5.8 | |
| .030 | 6.7 | 7.3 | 8.44 | 6.8 | 8.5 | 7.0 | 8.5 | 6.9 | 8.5 | 6.9 | 8.45 | 6.8 | 8.5 | 6.95 | |
| .020 | 7.16 | 8.5 | 9.35 | 8.2 | 9.3 | 8.45 | 9.2 | 8.5 | 9.25 | 8.5 | 9.2 | 8.3 | 9.4 | 8.7 | |
| .016 | 7.4 | 9.2 | 9.8 | 9.1 | 9.7 | 9.35 | 9.65 | 9.4 | 9.6 | 9.4 | 9.6 | 9.3 | 9.8 | 9.7 | |
| .010 | 7.97 | 10.5 | 10.6 | 10.9 | 10.8 | 10.9 | 10.65 | 11.0 | 10.45 | 11.4 | 10.6 | 11.4 | 11.0 | 11.5 | |
| .008 | 8.2 | 11.0 | 11.0 | 11.6 | 11.3 | 11.4 | 11.2 | 11.8 | 10.85 | 12.1 | 11.0 | 12.3 | 11.5 | 12.2 | $\xi_{m.v.}$ |
| .006 | 8.5 | 12.0 | 11.5 | 12.5 | 11.9 | 12.1 | 11.9 | 12.7 | 11.4 | 12.9 | 11.55 | 13.4 | 12.0 | 13.2 | $\eta_{m.v.}$ |
| .004 | 9.0 | 13.0 | 12.5 | 13.6 | 12.6 | 13.0 | 13.0 | 13.6 | 12.4 | 14.0 | 12.35 | 14.7 | 12.8 | 14.2 | 12.6 |
| .002 | 9.8 | 15.0 | 14.0 | 15.4 | 14.0 | 15.0 | 14.6 | 15.3 | 14.0 | 15.5 | 14.0 | 16.3 | 14.2 | 15.5 | 14.1 |
| .001 | 11.0 | 16.5 | 15.6 | 16.9 | 15.5 | 16.5 | 16.1 | 16.5 | 16.0 | 16.8 | 15.3 | 18.0 | 16.0 | 16.5 | 15.8 |
| .000 | 14.5 | 20.0 | 19.0 | 20.0 | 19.0 | 20.0 | 19.0 | 20.0 | 19.0 | 20.0 | 19.0 | 20.0 | 19.0 | 20.0 | 20.0 |
| Case No. | 2-(1) | " | 2-(3) | " | 2-(3)' | " | 2-(4) | " | 2-(5) | " | 2-(6)' | " | 2-(7)' | " | |
| Film No. | -15-2 | -3-30 | -3-2 | -1-7 | -4-4 | -2-5 | -4-4 | -1-3 | -4-2 | -1-3 | -3-2 | -4-2 | -1-2 | -2-2 | |

$\Phi(\xi), \Phi(\eta)$ 曲線を作るにあたって最も苦心したのは $\Phi=0$ の近傍の曲線をきめる作業であった。その理由は ξ 方向においては $\Phi=0.002$, η 方向においては $\Phi=0.005$ あたりまでしか写真に撮れていなかったからである。したがってそこから壁までの間の shock envelope を実験的に決める直接的手段がなかった。しかし幸いなことに, $h'=48 \text{ mm}$ の場合, ほぼ $\Phi(\xi)=0$ の所まで写真にとれていたので, $\Phi=0$ の近傍における Φ 曲線の大体の傾向を間接的に推定することが可能であった。その結果 η 軸上においては, おそらく風洞の壁の付近で $\Phi \approx 0$ と見なしてよいらしく, また ξ 軸上では原点 O が風洞の中心線上にないため, 壁に遠い側では壁のかなり手前で $\Phi=0$ であり, 壁に近い側では壁の影響を若干受けているようであった。しかし造波抵抗に対する壁の影響は無視しても差支えないことは後に述べるとおりである。

$\Phi=0$ の ξ, η 座標の値は, $h'=48 \text{ mm}$ 以外は, 各 case ともあまり違わないようであった。そして $\Phi=0$ の近傍では, その座標を $\pm 1 \text{ cm}$ 程度変えても, 全体の造波抵抗はほとんど変わらないから, $h'=48 \text{ mm}$ の場合をのぞき, 各 case とも形式的に $\xi=19 \text{ cm}, \eta=20 \text{ cm}$ を $\Phi=0$ となる点とするよう統一した。それ以外の ξ, η の値は, すべて第 2~8 図から直接よみとった。

Φ の大きな所では各 case ごとに、その個性がはっきり現われているが、 $\Phi < 0.004$ においてはほとんど差異がないようである。そこで第2表の右端に $h' = 48 \text{ mm}$ を除いた各 case の ξ, η の平均値を示しておいた。第9図はこの平均値の曲線を画いたものである。将来もし正確な減衰曲線を知ることができたら、第9図の曲線の可否が判明するだろう。



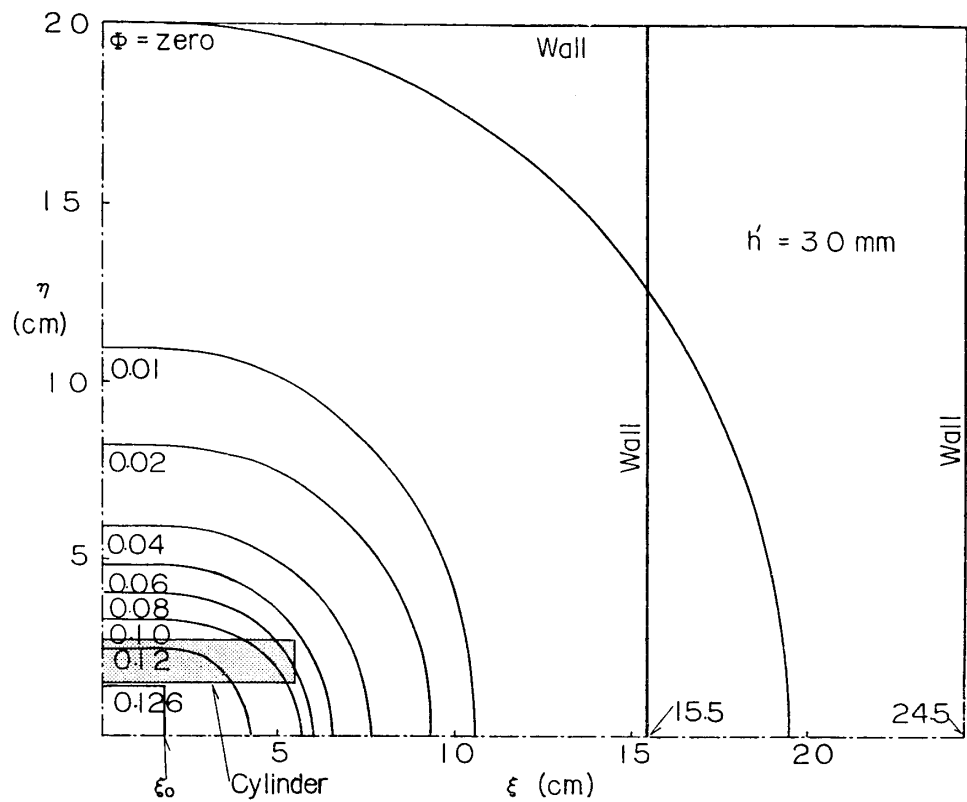
第 9 図

$h' = 48 \text{ mm}$ の場合は第1報、第13図に示したように、shock envelope は複雑な形をしているから、梢円による近似は適用できない。

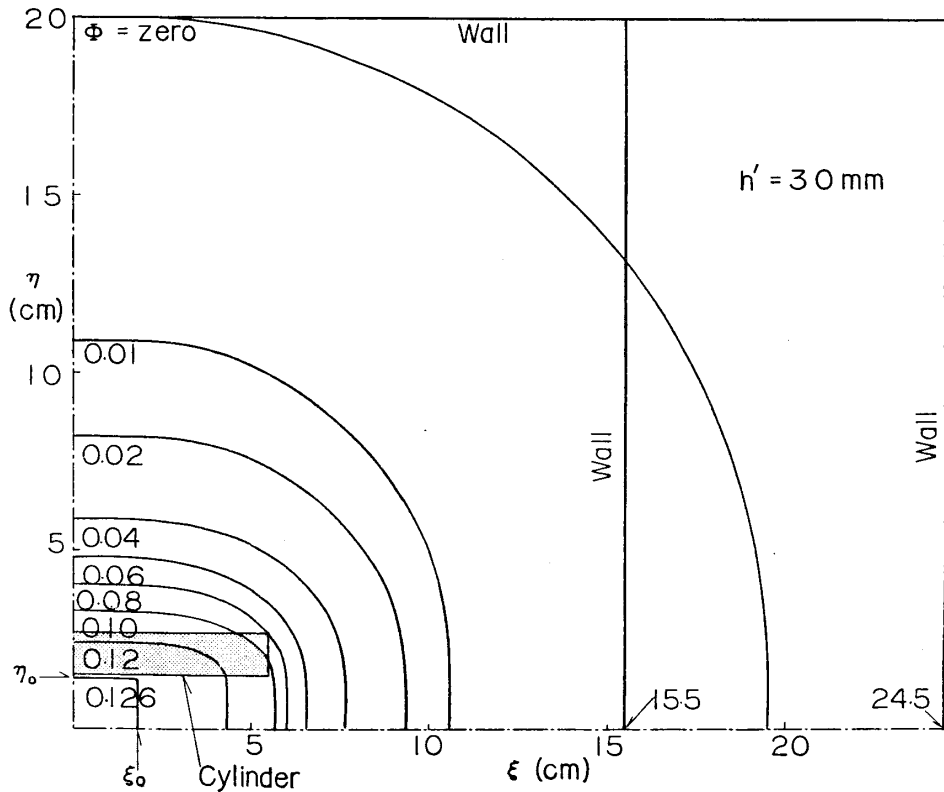
最後に shock envelope の傾きの角度 β の測定法について一言する。第2報 [2]においては、shock envelope の形を解析するとき、envelope 自体が左右対称になるように写真を方眼紙上に投射して記録したが、今回は β を測定するのが目的であるから、この方法は適当でないようと思われた。そこで model を支える sting を基準に採用し、その中心線が風洞の中心線と一致していると仮定した。そのため shock envelope の左右の対称性が少しそこなわれた。特に ξ 軸に沿う envelope は、その傾向が著しい。そこですべて Φ 曲線をきめるための実測点は左右の平均値をしめたものである。

第2表において ξ_0 と h' の関係を見ると、 h' を小さくして行なった時、 ξ_0 はかならずしも単調に減少していない。これは単に測定誤差に帰すべきでなく、上に述べたような shock envelope の投射法の影響も入っているものであろう。実は model の円柱の軸と sting の軸との間の角度は、工作上の誤差のため 90° ではなく、それよりおよそ $15\sim30'$ 程度小さくなっていた。さらに実験中は超音速流による力を受けて、この角度は $30'\sim45'$ ぐらいになったようである。したがって shock envelope の傾きの角度 β は上記の投射法によると左右対称にならなくなる。そのため第2表の ξ_0 と h' の間の関係などが若干不規則になったものと思われる。しかし ξ_0 の多少の誤差は $C_{DW, Bow}$ の値にそれ程大きく影響しない。たとえば $h' = 30 \text{ mm}$ の場合、 ξ_0 だけを 1.5 および 2.3 cm に移動して $C_{DW, Bow}$ を求めると、その差はわずか 2.5% にすぎない。したがって ξ_0 と h' の間の不規則な関係はあまり問題にしなくてよい。

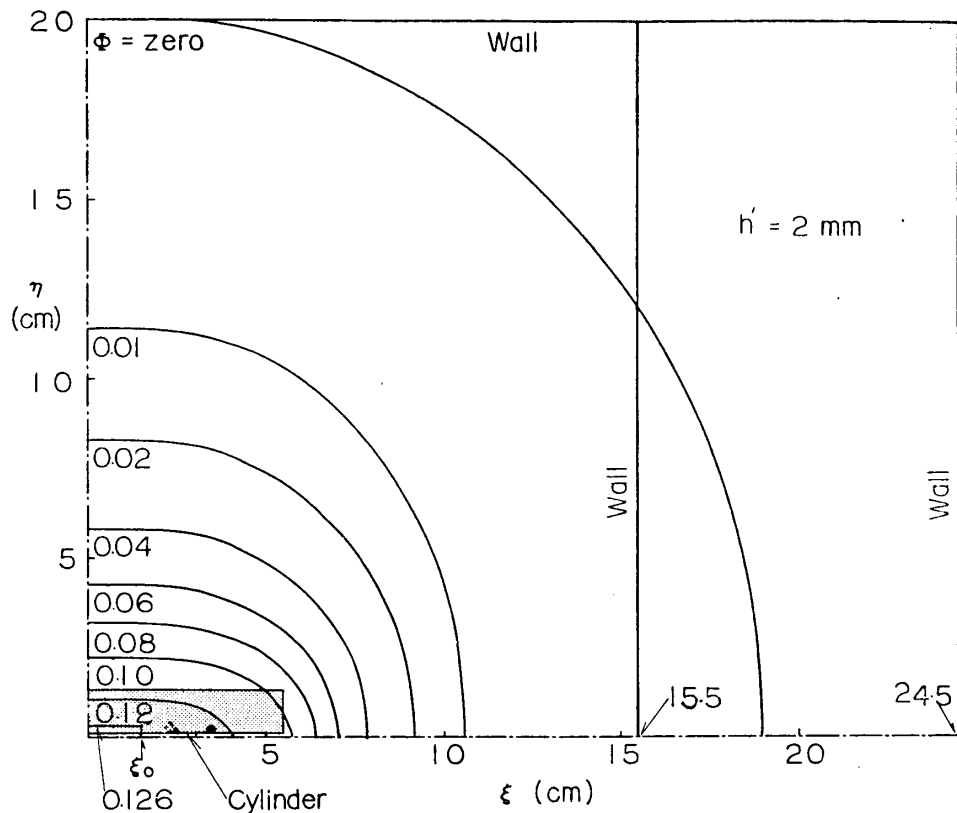
風洞断面に投射した $\Phi(\xi, \eta)$ の分布の例を第10~12図に示してある。第10図は $h' = 30 \text{ mm}$ において、梢円の原点を $(\xi_0, 0) = (1.8, 0)$ に置いた場合、第11図は $(\xi_0, \eta_0) = (1.8, 1.4)$ に置いた場合である。第3表に三つのcaseについて、二つの近似による $C_{DW, Bow}$ の比較を掲げてあるが、 h' の大きい場合、すなわち η_0 が大きい場合は、後の近似法は前の方よりかなり大きな値となる。しかし $h' < 10 \text{ mm}$ の場合は両者の違いはほとんど無視で



第 10 図



第 11 図



第 12 図

第 3 表

| h' (mm) | Origin of Ellipse | $C_{DW, \text{Bow}}$ |
|-----------|-------------------|----------------------|
| 30 | 1.8, 0 | 0.75 |
| | 1.8, 1.4 | 0.80 |
| 20 | 1.3, 0 | 0.73 |
| | 1.3, 1.0 | 0.76 |
| 5 | 1.2, 0 | 0.720 |
| | 1.2, 0.4 | 0.724 |

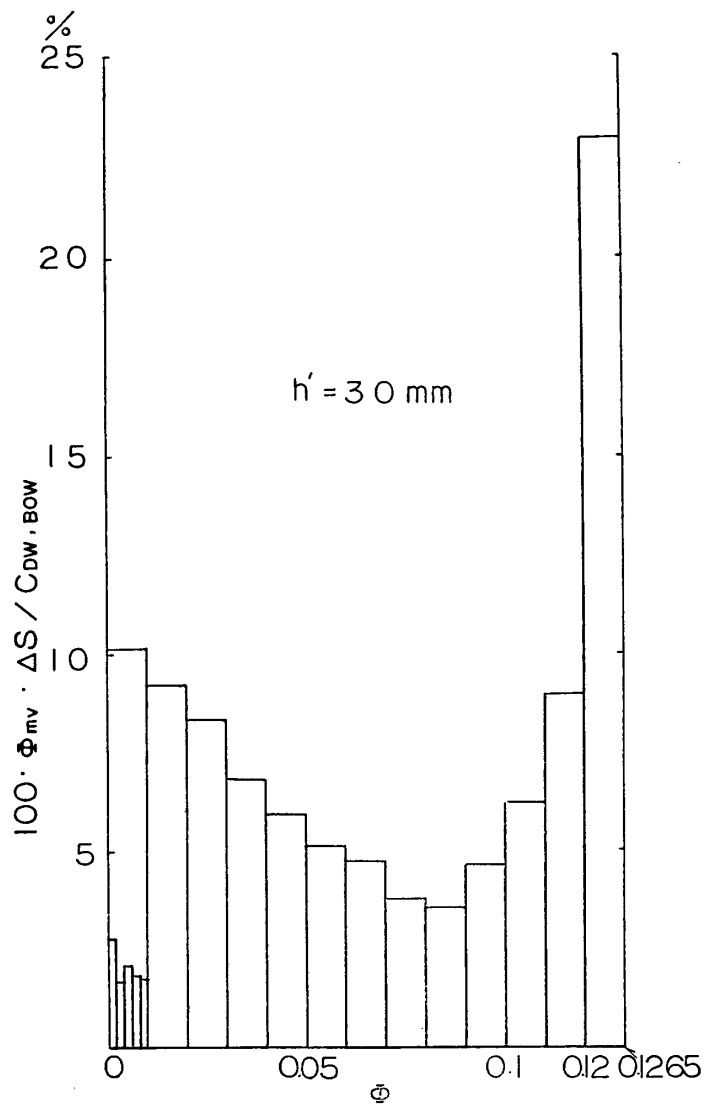
きる。

二つの方法による $C_{DW, \text{Bow}}$ を h' を横軸にとって plot し、さらに単独円柱の値 0.82（これについては第4報でのべる予定である）などと比較すると、 (ξ_0, η_0) を楕円の原点に選ぶ方法は、少し過大な値を与えるようであった。第5表に示した $C_{DW, \text{Bow}}$ の値は、すべて楕円の原点を $(\xi_0, 0)$ に置いて計算した結果である。

第13および14図は、 $h'=30$ および 2 mm の場合に、0.01ごとに刻んだ Φ の値に対して、全体の $C_{DW, \text{Bow}}$ の何%を寄与しているかを図示したものである。ただし右端だけは Φ の範囲は 0.12~0.1265 である。

この二つの図から、まず気づく興味あることは、寄与%はいずれの場合も $\Phi=0.07 \sim 0.09$ のあたりに極小が存在するという事実である。ここでは特に図示しないが、このことは、各 case に対して普遍的に成り立っている。

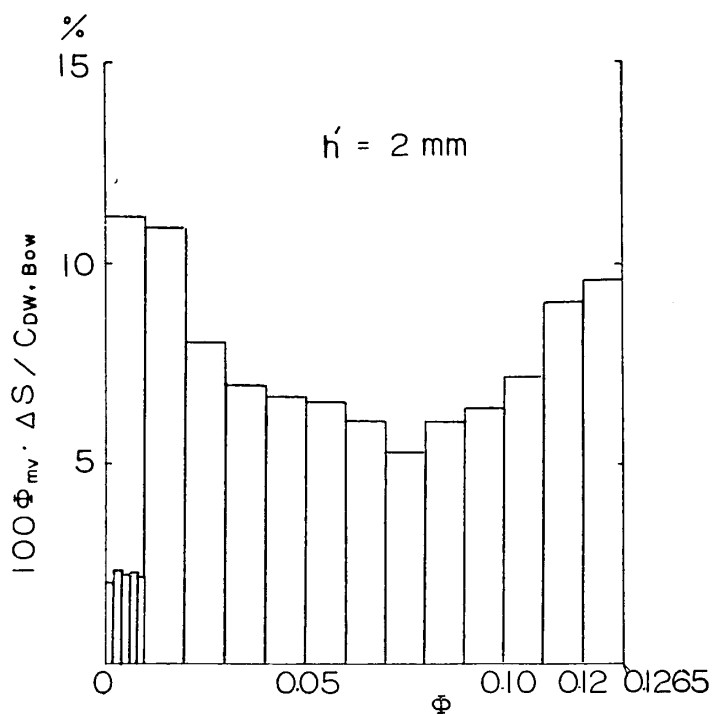
また h' の大きいところでは normal shock 近傍の寄与がきわめて大きいことも予想通りである。また $\Phi < 0.07$ においては、各々の値の区域の寄与は次第に大きくなり、 $\Phi=0 \sim 0.01$



第13図

においても特別大きくなるとか、又は小さくなるという傾向は見られない。元来、波のエネルギーが減衰する現象は、急に消滅するといったものではないだろうから、第13および14図の結果は、我々の用いた減衰曲線が比較的妥当であったことを間接的に支持しているようと思われる。

$\Phi=0\sim0.01$ の間を更に5等分し、各々の区域の $\Phi_{m.v.}$ の $C_{DW,Bow}$ に対する寄与%を示してある。Model が壁に近い側では、 $\Phi(\xi)$ 曲線は $\Phi=0.001$ のあたりで壁と干渉している。そのため第10~12図で $\Phi=0.001$ の曲線が壁によって切りとられている面積による造波抵抗だけ円柱の $C_{DW,Bow}$ は小さくなる。しかしその量はきわめてわずかで補正の必要がないことが第13~14図から理解される。



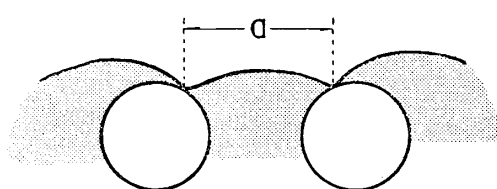
第 14 図

2. Nozzle Flow による抵抗

すでに第 1 報において、円柱列の抵抗を論ずるにあたっては、nozzle flow にもとづく抵抗がきわめて大きく寄与していることを指摘した。Nozzle flow による抵抗係数は第 1 報 (18) および (19) 式によって与えられる。2 本の平行な円柱の場合は、(18) 式ではなく、むしろ (19) 式を用いるべきであるということも既に述べたとおりである。(19) 式を再録すると

$$C'_{DN} = \frac{1}{2} \int_{\varphi^0}^{\pi} C_p \cos \varphi d\varphi \quad (11)$$

である。 φ^0 (第 1 報では φ_s と記したが都合上 φ^0 と改める) は stagnation point と円柱の中心を結ぶ直線が一様流に対して有する角度である。また C_p は圧力係数である。



第 15 図

φ^0 の測定は Schlieren 写真を用いて行なわれた。その方法の基礎は第 1 報でのべたが、具体的に示すと第 15 図のように a の長さを実測し、それを用いて円柱間の幾何学的関係から φ^0 を算出した。

$h' = 20, 10 \text{ mm}$ などの場合は、かなり明確に stagnation point を見いだすことができたが、 $h' = 5, 1 \text{ mm}$ などの場合は、pattern 自体が不明確で、 a の測定は非常に困難である。しかしていねいに観察すると測定できない量ではない。

第 5 表において第 1 報に示した C'_{DN} の値は $C'_{DN,1}$ という記号を用いてある。そしてその計算に用いた φ^0 の値を $(\varphi^0)_1$ という記号で示してある。その値は $h' = 5$ および 1 mm

に対して、それぞれ 16° および 24.5° である。

第1報をまとめた頃は時間的余裕も乏しく、 φ^0 の測定もあまりていねいに読んでいなかつたので、本報をまとめるに際し上記の 2 case を、もう一度測り直してみた。その結果は第5表の $(\varphi^0)_2$, $C'_{DN,2}$ に示したとおりである。 $(\varphi^0)_2$ は $(\varphi^0)_1$ より、それぞれ 2° および 3° だけ小さくなつた。測定する pattern 自体が不明確であるから、測定値に大きな信頼度がないとはいへ、第1報のときよりはるかに入念に観察したから、おそらく $(\varphi^0)_1$ より $(\varphi^0)_2$ の方が信頼度が高いと思われる。 $(\varphi^0)_2$ を用いると、 $C'_{DN,1}$ より $5\sim6.5\%$ 大きな $C'_{DN,2}$ がえられる。

$h' < 1 \text{ mm}$ 以下に対しては C'_{DN} の計算を行なつてないが、その理由は、円柱の間隔が小さくなると境界層の影響を無視できなくなり、従来のような簡単な計算が適用できなくなると思われたからである。

3. 抵抗係数の解析

2 本の平行な円柱の抵抗係数については、すでに第1報において報告すみであるが、本報においては第4表の 2 case の data を追加する。

第 4 表

| Case No. | h' (mm) | C_D | P_1^0 (kg/cm ²) | T_1^0 (°K) | Direction of Model | Date |
|----------|--------------|-------|----------------------------------|-----------------|-----------------------|------------|
| 2-(6)-3 | 2 | 1.42 | 2.159 | 282 | vertical | 1.18, '63. |
| -7-1 | 0.5 | 1.40 | 2.112 | 309 | vertical | 9.12, " |
| -2 | | 1.39 | 2.040 | 309 | horizontal | 9.12, " |
| m.v. | | 1.40 | | | | |

このうち $h'=2 \text{ mm}$ の data は、実験回数が少ないので第1報では発表を見合せたが、比較的信頼しうる値のように思えたので本報で採用することにした。

$h'=0.5 \text{ mm}$ の data は今回新たに追加実験によってえられたもので、これによって C_D の極大値が h' のどの辺に生ずるかを明らかにすることことができた。

また第1報の C_D の値は、較正曲線の描き方などに不正確なところがあつたので、今回新たに描き直し、全 case にわたり計算しなおした。その結果は第5表に示してある。第1報の値と比較すると、三桁目に若干の変動が見られたが、全体の傾向は以前と変らず、第16図に示すように、各 case の C_D の平均値を、 h' を横軸にとって plot すると、第1報、第21図の場合より、もっときれいに一つの曲線の上に並ぶことがわかる。

さて、このようにして得られた抵抗係数を解析的に理解することを試みるに先だって、すでに一般に知られていることではあるが、物体の抵抗の原因に関する基本的概念について、一応ふれておきたい。

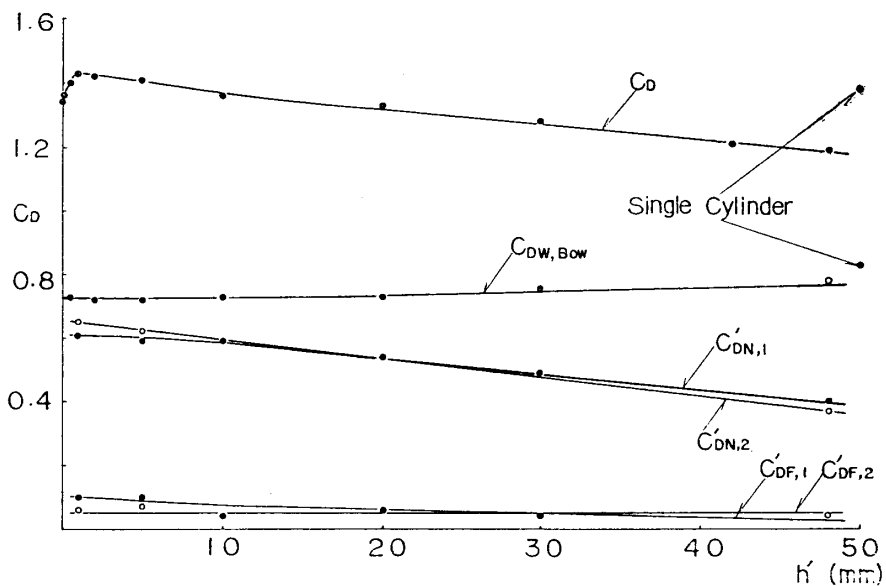
まず非粘性流体の亜音速の流れにおいては

$$C_D, \text{Nonviscous, Subsonic} = 0 \quad (12)$$

である。しかし遷音速、および超音速の流れにおいては

第5表

| Case No. | h' (mm) | C_D | $C_{DW, \text{Bow}}$ | $(\varphi^0)_1$ | $C'_{DN,1}$ | $C'_{DF,1}$ | $(\varphi^0)_2$ | $C'_{DN,2}$ | $C'_{DF,2}$ |
|----------|--------------|-------|----------------------|-----------------|-------------|-------------|-----------------|-------------|--------------|
| 2-① | 48 | 1.19 | (0.78) | 0° | 0.41 | | | (0.37) | (0.04) |
| -② | 42 | 1.21 | | | | | | | |
| -③ | 30 | 1.28 | 0.75 | 1 | 0.49 | 0.04 | | | 0.04 |
| -③' | 20 | 1.33 | 0.73 | 3 | 0.54 | 0.06 | | | 0.06 |
| -④ | 10 | 1.36 | 0.73 | 8 | 0.59 | 0.04 | | | 0.04 |
| -⑤ | 5 | 1.41 | 0.72 | 16 | 0.59 | 0.10 | 14° | 0.62 | 0.07 |
| -⑥' | 2 | 1.42 | 0.72 | | | | | | |
| -⑥ | 1 | 1.43 | (0.72) | 24.5 | 0.61 | 0.10 | 21.5 | 0.65 | (0.06) |
| -⑦' | 0.5 | 1.40 | 0.73 | | | | | | |
| -⑦ | 0.1 | 1.37 | | | | | | | |
| -⑧ | 0 | 1.34 | | | | | | | m.v. 0.05 |



第16図

$$C_{D, \text{Nonviscous, Supersonic}} = C_{D, \text{Wave}} \quad (13)$$

となる。すなわち造波抵抗があらわれる。これは物体の形状によってきまる form drag であり、また物体の表面の圧力となって現われる pressure drag である。

つぎに粘性流体の亜音速の流れにおいては

$$C_{D, \text{Viscous, Subsonic}} = C_{D, \text{Pressure}} + C_{D, \text{Skin-friction}} \quad (14)$$

と書き表わされる。すなわち物体の抵抗は pressure drag と skin-friction drag の和である。遷音速、および超音速の流れにおいても、(14)式が適用されるが、右辺の第1項の成因を波の発生に帰することができる。すなわち

$$C_{D, \text{Viscous, Supersonic}} = C_{D, \text{Wave}} + C_{D, \text{Skin-friction}} \quad (15)$$

と書くことができる。そして超音速の流れにおいては、(15)式の右辺の第1項を、物体の前方に生ずる弧状衝撃波によるものと、物体の後方に生ずる波によるものとに分割して考えることができる。すなわち

$$C_{DW} = C_{DW, \text{Bow}} + C_{DW, \text{Rear}} \quad (16)$$

さて我々には Schlieren 写真法によって、きわめて明確な弧状衝撃波の envelope を知ることができるから、(16)式の右辺の第1項を理論的に計算することができる。しかし物体の後方に生ずる波は、不明瞭で、かつ複雑な pattern をなしているから、第2項を理論的に計算することはほとんど不可能である。

2本の平行な円柱の Schlieren 写真を見ると、第1報、図版4~6および本報、図版1に見られるように、円柱列の後方の波のうち、nozzle flow に起因していると思われるものがきわめて顕著である。まことに述べたように、nozzle flow に基づく圧力抵抗は理論的に計算できるから、(16)式の右辺の第2項を、nozzle flow による圧力抵抗と、nozzle flow に基づく後流波を除いた残りの後流波の造波抵抗とに分けてよい。すなわち

$$C_{DW, \text{Rear}} = C_{DP, \text{Nozzle}} + C_{DW, \text{Rear, Residual}} \quad (17)$$

とかける。(17)式の右辺の第1項に対しては、Schlieren 写真を観察した結果、(11)式の C'_{ND} を適用すべきことを前に述べた。今まで述べたことをまとめると、簡単のため頭文字を用いてかくと

$$C_D = C_{DW, \text{Bow}} + C'_{DN} + C_{DW, R, R} + C_{D, SF} \quad (18)$$

となる。第5表には、 C_D 、 $C_{DW, \text{Bow}}$ および C'_{DN} が示してあり、 C'_{DF} は

$$C'_{DF} = C_D - C_{DW, \text{Bow}} - C'_{DN} \quad (19)$$

という式から計算したものである。すなわち

$$C'_{DF} = C_{DW, R, R} + C_{D, SF} \quad (20)$$

である。さて我々は(20)式の右辺の第2項、すなわち skin-friction drag を直接しうる方法はなかったが、亜音速における値は文献から知ることができる。たとえば Goldstein [3] によると、 $Re=10^{4.6}$ における skin-friction による抵抗係数は、およそ 0.03 である。

もし超音速における2本の円柱列の場合も、skin-friction drag が、亜音速の単独円柱の場合と同じ程度であると仮定してみよう。すると第5表の $C'_{DF, 2}$ は h' の全領域にわたり大きく変っていないから、その平均値をとると 0.05 となる。したがって(20)式から、nozzle flow 以外の後流波の抵抗係数は 0.02 となる。すなわち非常に小さいものであって、円柱列の抵抗を理解するには、近似的には弧状衝撃波の造波抵抗と、nozzle flow による圧力抵抗と、亜音速における skin-friction による抵抗を考えれば充分であることがわかる。

いま述べたことは、skin-friction の抵抗係数が、円柱列の場合に、 h' に無関係に 0.03 であると仮定した上の結論である。 $C_{D, SF}$ (慣例によれば C_f) は、極超音速の流れの場合、物体への熱伝達を支配する量であって、この研究の本来の目的からいってきわめて重要なも

のである。そして多数の平行な円柱の列においては、 h' が小さくなると平板の特性に近かずくだろうという予想から考えると、 $C_{D, SF}$ が h' に無関係に一定であるという仮定は正しくないだろう。そして、単独円柱の亜音速の値より小さくなることも考えられる。その場合は $C_{DW, R, R}$ は 0.02 より大きくなる。

これらの問題は、我々が将来極超音速における円柱列の熱伝達を測定することによって明確に解決されるだろうと思う。

なお第5表における $h'=48 \text{ mm}$ における括弧の値は、第16図における曲線の外挿値より求めたものである。また $h'=1 \text{ mm}$ の括弧の値は内挿値である。

2. 3本の平行な円柱の抵抗

1. 実験の方法

実験に使った model、および model を固定するための楔などは2本の円柱列の場合と全く同じである。ただし楔を支える sting は、第1報の実験の最後に破損したので、新たに太い丈夫なものを製作した（第18図を参照せられたい）。特に strain gauge は、第1報でのべたように貼付状態が悪く、満足に動作したのは1本しかなかったので、今回は東洋測器 K.K. に依頼し、3本の model に入念に gauge を貼付してもらった。それによって3本の model から、すべて良好な data をうることができた。

抵抗はすべてペン書き oscillograph を用いて記録させた。また静的荷重状態における較正曲線を1日に2回、すなわち実験開始前と終了後に1回あてつくった。その結果わかったことは、荷重と振れとの関係は、実験期間中かなり変るということであった。1, 2 の例外をのぞいて、振れの感度は時間の経過とともに低下する傾向があった。その原因是、strain gauge に帰すべきでなく、おそらくは oscillograph の増幅器の gain が時間的に低下するためと思われた。実験は7~9月の盛夏のときに行なわれたから、室内の温度は30°C 位であった。したがって増幅器の内部の温度はそれより数10度は高かっただろうから、部品の性能が変り、gain が低下するということは、充分ありうることである。

第1報の実験は12~1月の冬季間に行なわれたから、室内温度は6~8°C であり、増幅器の内部の温度は部品の性能を変えるようなものではなかったと思われる。したがって1日に1回しか較正曲線を作らなかつたが、data の整理は、ほぼ順調に済んだ。もっとも数回、奇妙な結果がでて破棄した case があること、採用した data でも誤差の大きな case があつたことなどの原因の一部は、較正曲線の感度の時間的变化に帰すべきであるかも知れない。

以上のような理由から、実験開始前と終了後における二つの較正曲線を作り、drag の振れに対応する力、即ち較正曲線の荷重を二つ読み、その平均をもって抵抗値と見なした。二つの読みの差は、case ごとに、また channel ごとに違うが、大体 5~6% 程度であった。平均をとることによって誤差を 2~3% 以内に押えることはできたと思うが、実験回数が少いから、2本の円柱列に比して精度が若干よくないのはやむをえなかった。

2. 実験の結果

実験の結果は第6表および第17図に示してある。 h' は 18 mm から 0 の間で変えてある。ただし $h'=0$ というのは、3本の円柱の間に block gauge をはさまない状態のことであつ

第6表

| Case No. | h' (mm) | C_{D1} | C_{D2} | | \bar{C}_{D2} | \bar{C}_D | $\bar{\bar{C}}_D$ | p_1^0 (kg/cm ²) | T_1^0 (°K) | Direction of Model | Date |
|--------------------------|--------------|----------|----------|------|----------------|-------------|-------------------|----------------------------------|-----------------|--------------------|------------|
| 3-①-3 -4 m.v. | 18 | 1.21 | 1.45 | 1.41 | 1.43 | 1.35 | | 2.070 | 315 | h | 7.30, '63. |
| | | 1.28 | 1.43 | 1.55 | 1.49 | 1.42 | | 2.089 | 308 | v | 9.11, " |
| | | 1.25 | | | 1.46 | 1.39 | 0.70 | | | | |
| -②-2 -3 m.v. | 10 | 1.31 | 1.42 | 1.41 | 1.42 | 1.38 | | 2.047 | 314 | h | 7.30, " |
| | | 1.35 | 1.45 | 1.44 | 1.45 | 1.41 | | 2.092 | 307 | v | 9.11, " |
| | | 1.33 | | | 1.44 | 1.40 | 0.90 | | | | |
| -③-1 -2 m.v. | 5 | 1.57 | 1.47 | 1.40 | 1.44 | 1.48 | | 2.028 | 315 | h | 7.30, " |
| | | 1.50 | 1.42 | 1.38 | 1.40 | 1.44 | | 2.092 | 302 | v | 9.11, " |
| | | 1.54 | | | 1.42 | 1.46 | 1.14 | | | | |
| -④-2 -3 m.v. | 2 | 1.65 | 1.39 | 1.35 | 1.37 | 1.47 | | 2.087 | 309 | v | 9.11, " |
| | | 1.65 | 1.43 | 1.25 | 1.34 | 1.44 | | 2.118 | 309 | h | 9.11, " |
| | | 1.65 | | | 1.36 | 1.46 | 1.31 | | | | |
| -⑤-1 -2 -3 m.v. | 1 | 1.82 | 1.31 | 1.38 | 1.35 | 1.50 | | 2.047 | 318 | h | 7.30, " |
| | | 1.74 | 1.32 | 1.22 | 1.27 | 1.43 | | 2.117 | 310 | v | 9.11, " |
| | | 1.71 | 1.38 | 1.23 | 1.31 | 1.44 | | 1.981 | 307 | v | 9.11, " |
| | | 1.76 | | | 1.31 | 1.47 | 1.39 | | | | |
| -⑥-1 -2 m.v. | 0 | 1.78 | 1.32 | 1.32 | 1.32 | 1.47 | | 2.059 | 319 | h | 7.30, " |
| | | 1.67 | 1.34 | 1.24 | 1.29 | 1.42 | | 1.990 | 304 | v | 9.11, " |
| | | 1.73 | | | 1.31 | 1.45 | 1.45 | | | | |

h: horizontal; v: vertical.

て、工作上の誤差から、円柱の間にきわめてわずかの隙間が見られたが、充填剤をつめるようなことは行なわなかった。

C_{D1} は中央の円柱、 C_{D2} は両端の円柱の抵抗係数である。 \bar{C}_{D2} は両端の円柱の抵抗係数の平均値である。厳密な表示法としては、 \bar{C}_{D1} のごとく、左下に円柱の数、右下に中央から数えた番号をかくことが望ましいが、煩雑になるので、左下の数字は省略してある。また \bar{C}_D は

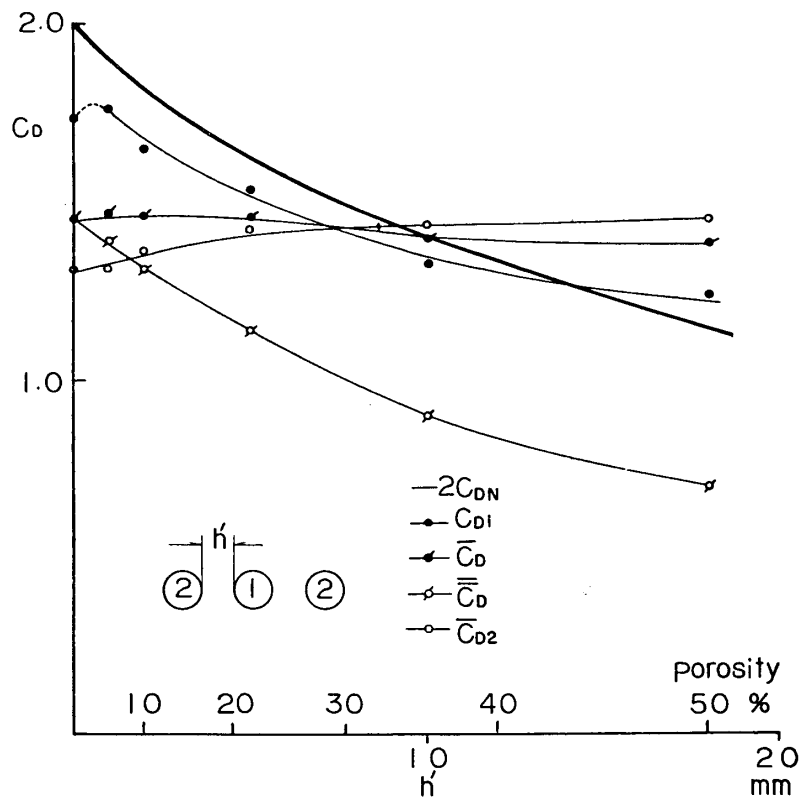
$$\bar{C}_D = \frac{1}{3}(C_{D1} + 2\bar{C}_{D2}) \quad (21)$$

で定義された平均抵抗係数であり、 $\bar{\bar{C}}_D$ は

$$\bar{\bar{C}}_D = \bar{C}_D \frac{3d}{3d+2h'} \quad (22)$$

で定義された有効抵抗係数である。また第 17 図の porosity は

$$\text{porosity} = 100 \frac{2h'}{3d+2h'} \% \quad (23)$$



第 17 図

から計算した量である。

実験の結果のうち気のついた若干の事実を次に列挙しておく。

1. 両側の円柱の C_{D2} は、理想的な条件のもとでは、各 case ごとに一致しなくてはならないが、表からわかるように 10% 以上ちがう場合がある。これは単に測定誤差に帰すべきでなく、何らかの原因によって流れの対称性が乱されて、このような結果を生じたものと思う。

2. C_{D1}, C_{D2} は h' を一定にした場合でも、各 case ごとに、いくらかの変動が見られるが、 \bar{C}_D は比較的一定した値を示している。したがって、その平均値 $\bar{C}_{D, \text{mv}}$ は第 17 図からわかるように、非常に美しく一つの曲線上にのっている。

3. $h'=2 \text{ mm}$ の場合に、端にある 1 本の円柱が、はげしい振動をおこし、その抵抗が極端に大きくなつたことがある ($C_{D2}=1.65$)。しかし、その後行なわれた 2 回の実験では、そのようなことは見られなかつた。あとで述べるように、衝撃波の波面の解析によると、この近くに何等かの特異点が存在しているように思われる。

4. h' の大きなところでは、 $C_{D1} < \bar{C}_{D2}$ であつて、 h' を減少すると共に、 C_{D1} は大きくなり、 \bar{C}_{D2} は小さくなつて、 $h'=7.5 \text{ mm}$ あたりで $C_{D1}=\bar{C}_{D2}$ となる。さらに h' を小さくすると \bar{C}_{D1} は急激に大きくなり $h'=1 \text{ mm}$ 付近で極大値に達する。一方 \bar{C}_{D2} は単調に小さくなつて、 $h'=0$ において極小値をとる。

3. 抵抗係数の解析

詳細な解析を行なうためには、2本の円柱列の場合とおなじように、弧状衝撃波の造波抵抗や、nozzle flow の圧力抵抗などを計算しなくてはならないが、しかし3本の場合は、簡単に処理できないいろいろな問題を考えられるし、また時間的余裕もないので、きわめて顕著な事を指摘するに止めたい。

3本の円柱列においては、中央の円柱に対する stagnation point は、理想的条件のもとでは円柱の頂点に存在するはずである。したがって nozzle flow の圧力抵抗係数を求めるには、 C'_{DN} ではなく第1報(18)式に示した C_{DN} を用いるべきである。すなわち、nozzle flow が円柱の両側に存在することから

$$2C_{DN} = \int_0^{\pi} C_p \cos \varphi d\varphi \quad (24)$$

を考えなくてはならない。この値は第7表および第17図にしめしてある。

さて中央の円柱に対する弧状衝撃波の造波抵抗がどれだけあるかを直接知る方法はないが、おそらく両端の円柱に対するより、はるかに小さいだろうということは予想されうる。そこで仮りに造波抵抗を無視し、また skin-friction による抵抗も無視するなら、(18)式を参照して

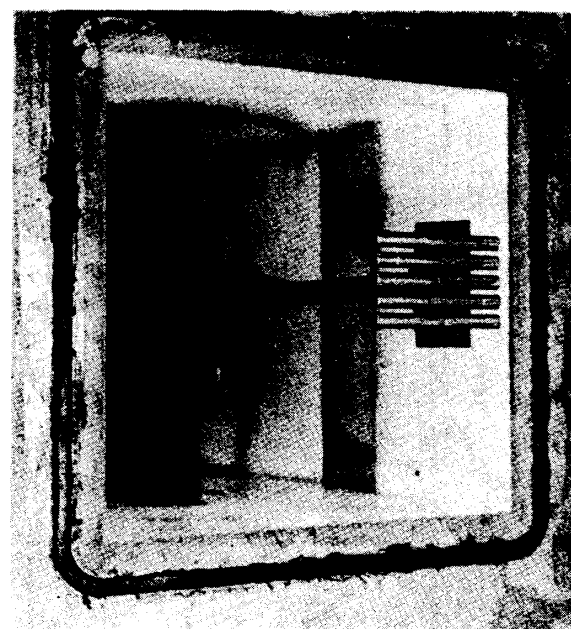
$$C_{D1} \approx 2C_{DN} \quad (25)$$

という関係が導びかれる。第17図における $2C_{DN}$ の曲線と、 C_{D1} の曲線とを比較すると、数%の誤差の範囲内で、この式が成りたつことがわかる。しかし、この解析はかなり粗雑なものであることは事実である。なぜなら(25)式を導くまでの仮定が正しいなら、当然 $C_{D1} > 2C_{DN}$ となるべきであるが、 $h' < 14$ mm の領域では、逆に $C_{D1} < 2C_{DN}$ となっているからである。

3. 5本の平行な円柱の抵抗

1. 実験の方法

5本の円柱を風洞の測定部にすえつけた状態は、第18図に示すとおりである。中央から片側の3本の円柱に対して、strain gauge が貼付してある。本来は全部の円柱に gauge を貼付することが望ましいが、ペン書き oscillograph の channel の数が、設定圧力を記録するための channel をふく



第18図

めて四つしかなかったから、やむをえない方法であった。もし流れが完全に対称的なものであるなら、この方法で充分であるが、3本の円柱列の場合にのべたように、対称性が失われることが多いから、この方法によってえられた data の中には、流れの非対称性にもとづく誤差をふくんでいる。

1日に2回、すなわち実験開始前と終了後に較正曲線を作ったことは3本の円柱列の場合と同じである。しかし幸い7月31日は二つの較正曲線が、ほぼ完全に一致したので、1本の較正曲線で間に合った。したがって、この日の data の方が9月9日の data より信頼度が高いと思われるが、平均値を求めるとき、特に重値を与えることはしなかった。

2. 実験の結果

実験の結果は第8表、および第19図にしめしてある。ここで \bar{C}_D , $\bar{\bar{C}}_D$ は、それぞれ

$$\bar{C}_D = \frac{1}{5}(C_{D1} + 2C_{D2} + 2C_{D3}) \quad (26)$$

$$\bar{\bar{C}}_D = \bar{C}_D \frac{5d}{5d + 4h'} \quad (27)$$

で定義された量である。また \bar{C}_{D12} は

$$\bar{C}_{D12} = \frac{1}{3}(C_{D1} + 2C_{D2}) \quad (28)$$

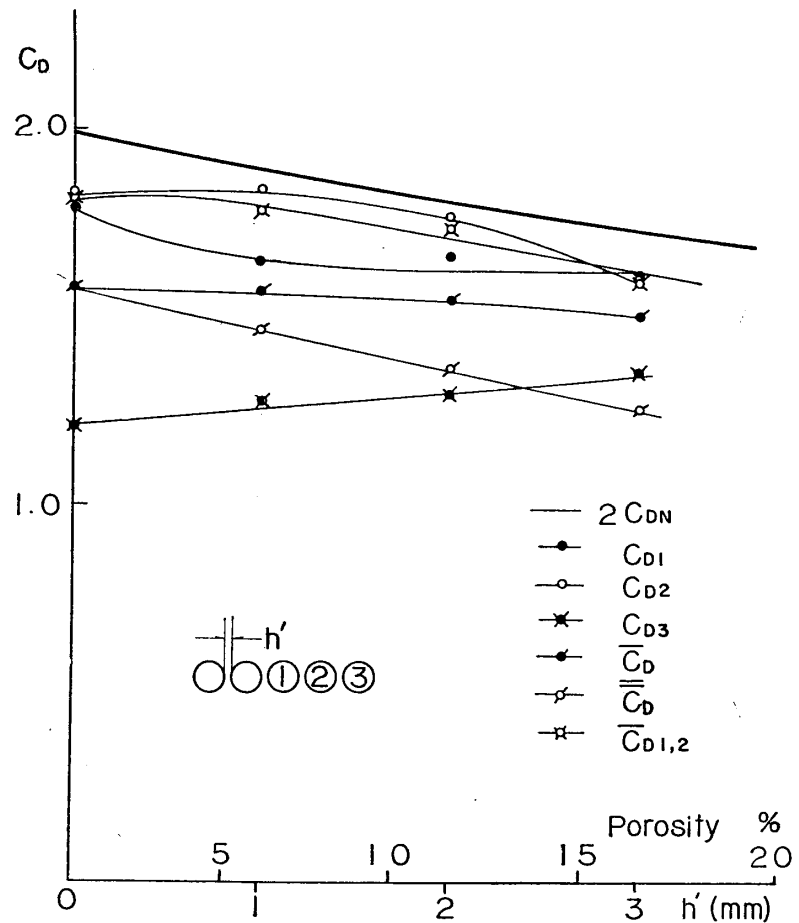
で与えられる。また porosity は

$$\text{porosity} = 100 \frac{4h'}{5d + 4h'} \% \quad (29)$$

第8表

| Case No. | h' (mm) | C_{D1} | C_{D2} | C_{D3} | \bar{C}_D | $\bar{\bar{C}}_D$ | p_1^0 (kg/cm ²) | T_1^0 (°K) | Direction of Model | Date |
|----------|--------------|----------|----------|----------|-------------|-------------------|----------------------------------|-----------------|--------------------|------------|
| 5-①-1 | 3 | 1.67 | 1.59 | 1.37 | 1.52 | 1.26 | 2.038 | 315 | h | 7.30, '63. |
| -2 | | 1.63 | 1.50 | 1.38 | 1.48 | | 2.075 | 309 | h | 7.31, " |
| -4 | | 1.56 | 1.70 | 1.32 | 1.52 | | 2.073 | 303 | v | 9.9, " |
| m.v. | | 1.62 | 1.60 | 1.36 | 1.51 | 1.61 | | | | |
| -②-1 | 2 | 1.70 | 1.74 | 1.32 | 1.54 | 1.37 | 2.045 | 309 | h | 7.31, " |
| -3 | | 1.63 | 1.79 | 1.28 | 1.55 | | 1.963 | 311 | v | 9.9, " |
| m.v. | | 1.67 | 1.77 | 1.30 | 1.55 | | 1.74 | | | |
| -③-1 | | 1.67 | 1.84 | 1.29 | 1.59 | 1.47 | 2.022 | 311 | h | 7.31, " |
| -2 | | 1.67 | 1.76 | 1.29 | 1.55 | | 2.007 | 311 | h | 7.31, " |
| -3 | 1 | 1.65 | 1.87 | 1.27 | 1.59 | | 2.040 | 307 | v | 9.9, " |
| -4 | 1.62 | 1.85 | 1.25 | 1.56 | 2.025 | | 306 | v | 9.9, " | |
| m.v. | 1.65 | 1.84 | 1.28 | 1.57 | 1.78 | | | | | |
| -④-1 | 0 | 1.80 | 1.80 | 1.25 | 1.58 | 1.58 | 2.040 | 309 | h | 7.31, " |
| -2 | | 1.78 | 1.85 | 1.17 | 1.57 | | 2.058 | 303 | v | 9.9, " |
| m.v. | | 1.79 | 1.83 | 1.21 | 1.58 | 1.82 | | | | |

h: horizontal; v: vertical



第 19 図

なる関係から計算された。実験の結果から、特に気づいた1,2の事柄を次に列挙しておく。

1. \$h'=3\text{ mm}\$ の場合をのぞいて、すべて \$C_{D1} < C_{D2}\$ という結果がえられた。流れの対称性から考えると \$C_{D1} > C_{D2}\$ となりそうであるが、実際はそうならなかった。
2. \$h'\$ を小さくして行くと、\$C_{D2}\$ は急激に大きくなるが、\$C_{D1}\$ は \$h'=0\$ の場合のほかほとんど変わらない。そして \$C_{D1}\$ は、かなり奇妙な形の曲線を仮定しないと、曲線の上に data をのせることができない。
3. \$C_{D1}\$ と \$C_{D2}\$ の値の違いは、比をとって見ると、それほど大きくはない。円柱の両側に nozzle flow があることから、似た傾向をもつのは当然であろう。しかし \$h'\$ が 2 mm から 1 mm に変るとき、\$C_{D2}\$ は増すが、\$C_{D1}\$ はわずかながら減少する。すなわち逆向きの相関にあるように見える。
4. 以上のことから \$\bar{C}_{D1,2}\$ を計算してみると、ほぼ \$2C_{DN}\$ の曲線に平行した曲線で近似できることがわかる。
5. \$C_{D3}\$ は \$h'\$ と共に単調に小さくなる。

3. 抵抗係数の解析

5 本の円柱列の流れは、3 本の場合より複雑であって、正確な解析は困難であるが、前項

でのべたように、大体の傾向だけ考えるなら

$$\bar{C}_{D12} \approx 2C_{DN} \quad (30)$$

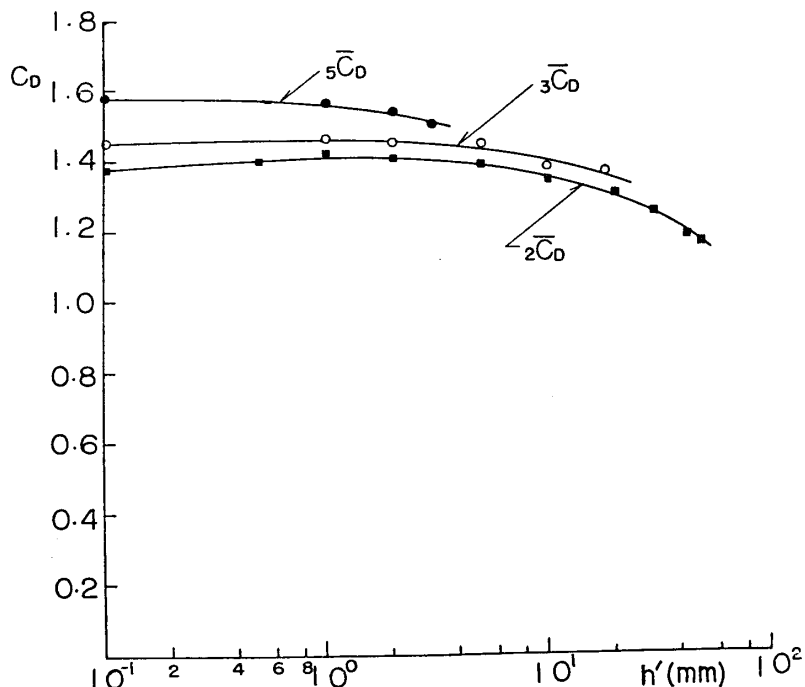
という関係が、実測された h' より更に広い範囲にわたり成立つものと推定される。

4. 各種の平行円柱列の抵抗の比較

今まで示した各種の平行円柱列の抵抗を比較し、若干の結論をのべたい。

2本の平行円柱列の場合は、実験の case の数が多く、また壁の影響もほとんど無視できるので、解析によって、かなり明瞭な解釈がえられた。しかし3本、および5本の平行円柱列の場合は、2本の場合より流れは複雑となり、また壁の影響も無視できなくなるので、詳しい解析を行なうことは、本報ではできなかった。

そこで、ここでは単に各種の平行円柱列の平均抵抗係数 \bar{C}_D を比較することによって、大体の傾向を予想するにとどめる。第20図において、横軸には対数目盛で h' を示してある。



第20図

これは各種の円柱列ごとに h' の範囲が著しく異なるため、比較に便利なようにとった手段である。縦軸には \bar{C}_D をとってあるが、各種の \bar{C}_D を区別するために、左下に円柱の数を添字で示してある。また $3\bar{C}_D$, $5\bar{C}_D$ の $h'=0$ は、若干の隙間を考慮して $h'=0.1 \text{ mm}$ と見なして plot した。

図からわかるように、 h' の等しい場合には、円柱の数の多いほど、 \bar{C}_D は常に大きな値を示す。一般に \bar{C}_D は、Mach 数、個々の円柱の Reynold 数などの関数であるばかりでなく、円柱間の距離 h' (または h'/d)、円柱の数 n 、および円柱の aspect ratio (A/R) などの



図版1. (a) 2-⑥'-4-2, R, $h' = 2$ mm. (b) 2-⑥-5-3, R, $h' = 1$ mm. (c) 2-(7)'-2-2, R; (d) 2-(7)'-1-3, R, $h' = 0.5$ mm.

複雑な関数であるが、 n , R が大きな場合には、平板の抵抗係数と比較しうるものである。その際、 h'/d (すなわち porosity を決める量) が、どのような役割を果すかということがきわめて重要な問題となる。

第20図から直ちに正確な結論をだすことはできないが、若干の porosity を有する多数の平行円柱列に対する超音速の抵抗係数は、個々の円柱の抵抗係数より、はるかに大きくなり、平板のそれに匹敵しうることが予想される。

5. Schlieren 法による流れの観察

1. 2本の平行な円柱

第1報、図版6の $h'=1, 2\text{ mm}$ の写真において、それぞれ鉛直および水平位置の写真が欠けているので、図版1、(a) および (b) を補足しておく。また (c) および (d) は $h'=0.5\text{ mm}$ の場合の写真で、本報のため、新たに追加した case である。円柱の後方に生じている nozzle flow に起因する波は、 h' が 1 mm から 0.5 mm になるとき、その強さが弱まっているように見える。

図版に記した R, L なる記号は、第1報、第7図に示したように、光が進行する方向に向って、slit の像の右または左を切るという意味である。R なら、風洞の下流に向って流体の密度の増加してゆく領域があると、平均の視野より暗い pattern が現われる。図版1、(a) はその1例であって、弧状衝撃波は黒い帯となって現われているのは予期した通りである。しかしその上に白い細い線が見える。このような例は図版2, 3, 4, 5, 6 の (b), (d) の写真にも見られる。図版1、(b), (d) のように shadowgraph に近い状態で撮った写真では、この白い線を見ることはできない。すなわち、slit の光像を深く切ると白い線が現われ、浅く切ると消えてしまう。

以上の現象は、単に光学系に起因するのか、あるいは衝撃波自体に起因するのか理解したい。

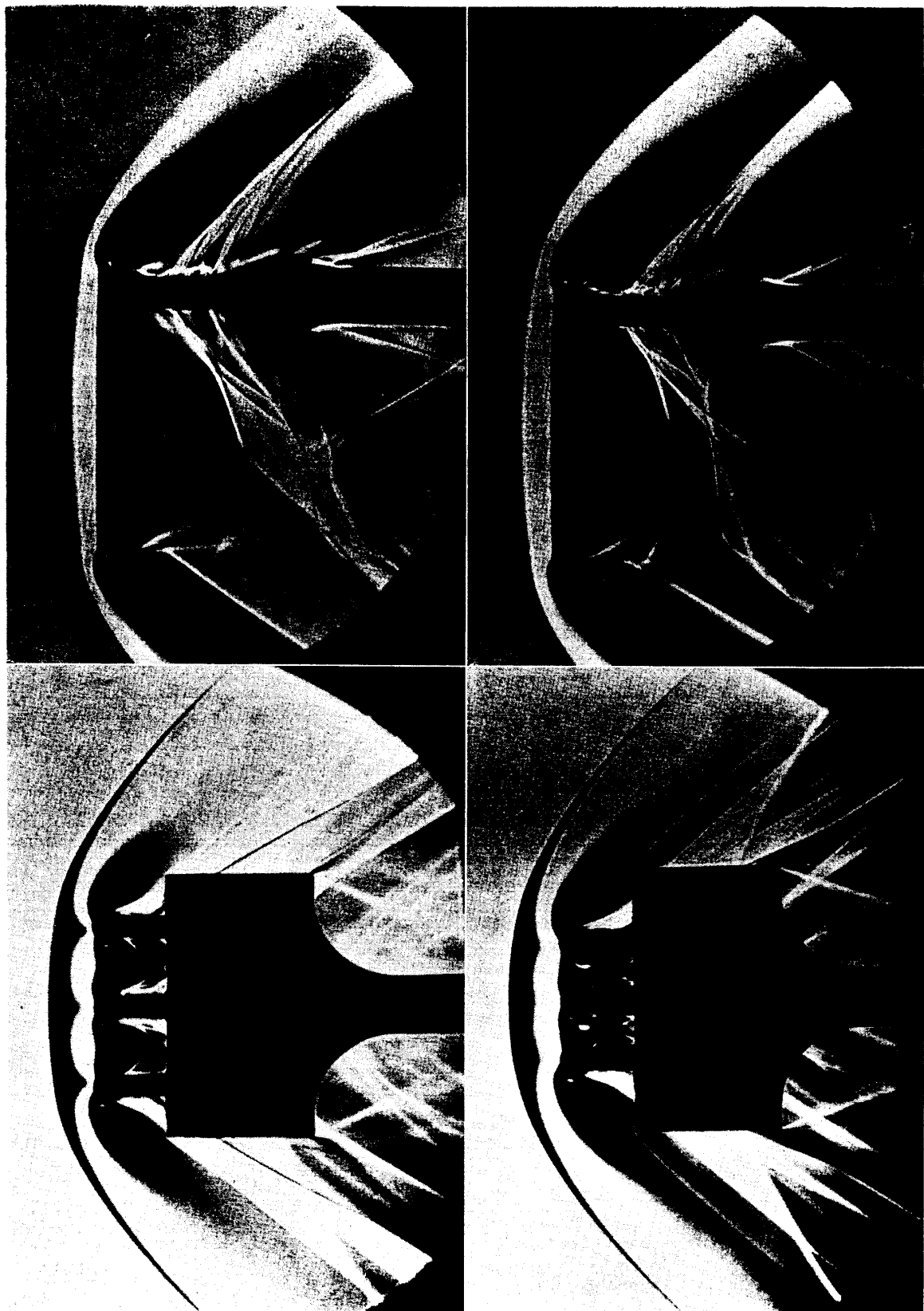
また高速度映画 camera (商品名 FASTAX) を用いて、風洞が start してから、定常状態になるまでの過渡現象を観察した。 $h'=48\text{ mm}$ とし、送出し速度はおよそ 1000 frame/sec である。その結果わかった興味ある事実をのべておく。

第1報、第6図に示したように、ペン書き oscillograph で抵抗を記録させると、曲線は最初あるところまで立上ったのち、急に下がり、さらに再び立上って定常状態に達する。この時の流れを映画で見ると、上流から normal shock wave が押しよせてきて、円柱列の周りを包みはじめるが、やがて下流より反射波がやってきて、shock wave を再び上流に押し返してしまう。しかし直ぐ戻ってきて、再び円柱列を包むが、今度はそのまま定常状態に移ってゆく。

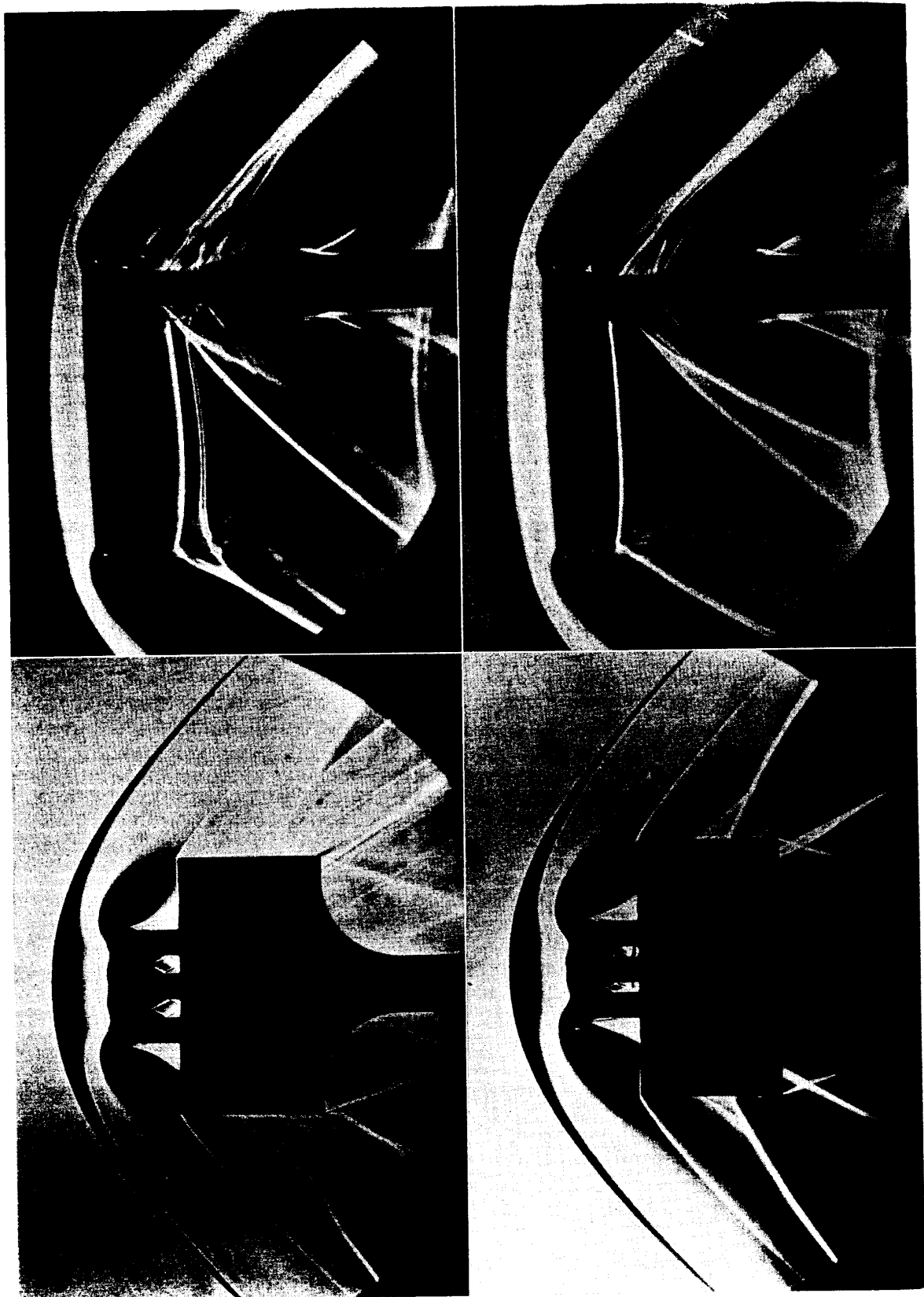
以上のような映画の流れの各段階と、抵抗の曲線との対応はきわめて明瞭である。

2. 3本の平行な円柱

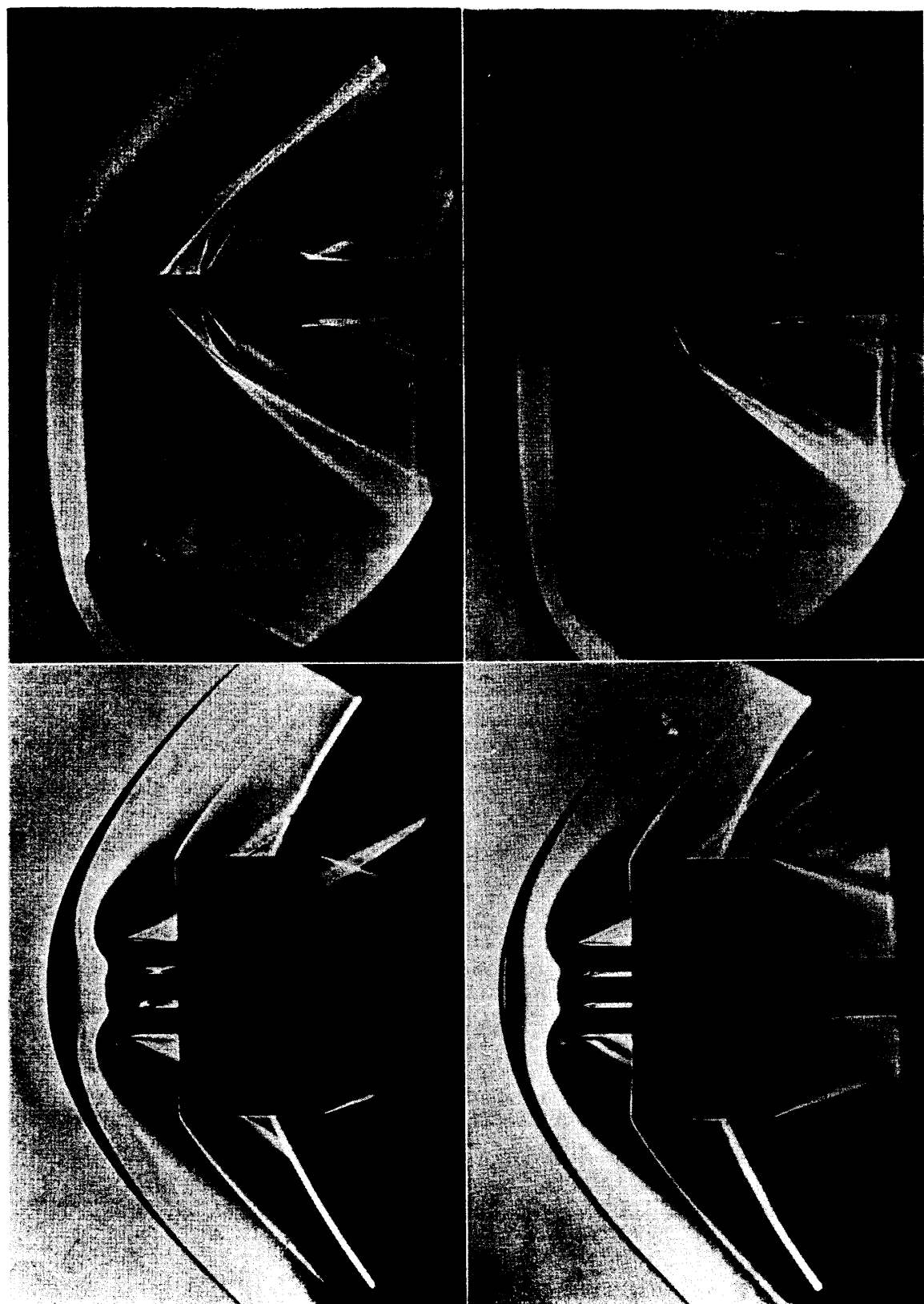
3本の平行な円柱のまわりの流れの Schlieren 写真は図版2~4に、各 case とも水平および鉛直位置で撮影されたものが示してある。大体の傾向は2本の場合と似ているが、特に気づいたことを次に列記しておく。



図版2. (a) 3-①-3-3, R; (b) 3-①-4-3, R, $h' = 18$ mm. (c) 3-②-1-4, R; (d) 3-②-3-2, R, $h' = 10$ mm.



図版 3. (a) 3-③-1-2, R; (b) 3-③-2-2, R, $h'=5$ mm. (c) 3-④-1-5, R; (d) 3-④-2-2, R, $h'=2$ mm.



図版4. (a) 3-⑤-1-4, R; (b) 3-⑤-2-2, R, $h' = 1 \text{ mm}$. (c) 3-⑥-1-4, R; (d) 3-⑥-2-3, R, $h' = 0$,

1. 水平位置の写真で、円柱の間に交差する波が見られることは2本の場合と変りないが、 $h'=5$ 、および2 mmの場合には、隣りの円柱の支柱で反射している様子が非常にはっきり写っている。このことから、これらの波は円柱と支柱とが接するところから、局部的に発生していることがわかる。

2. 水平位置の写真で、楔の中央より少し下方を左右に大きく弧状に広がった波が見られる。この波は1本、および2本の場合にも見られたが、楔より更に下方で、かつ波の強さも弱く、あまり目立たなかった。後でのべるように5本の場合は、この波は更に前進して楔の前端より前に出てしまい、波の強度は著しいものとなる。この波の起因については目下考察中である。

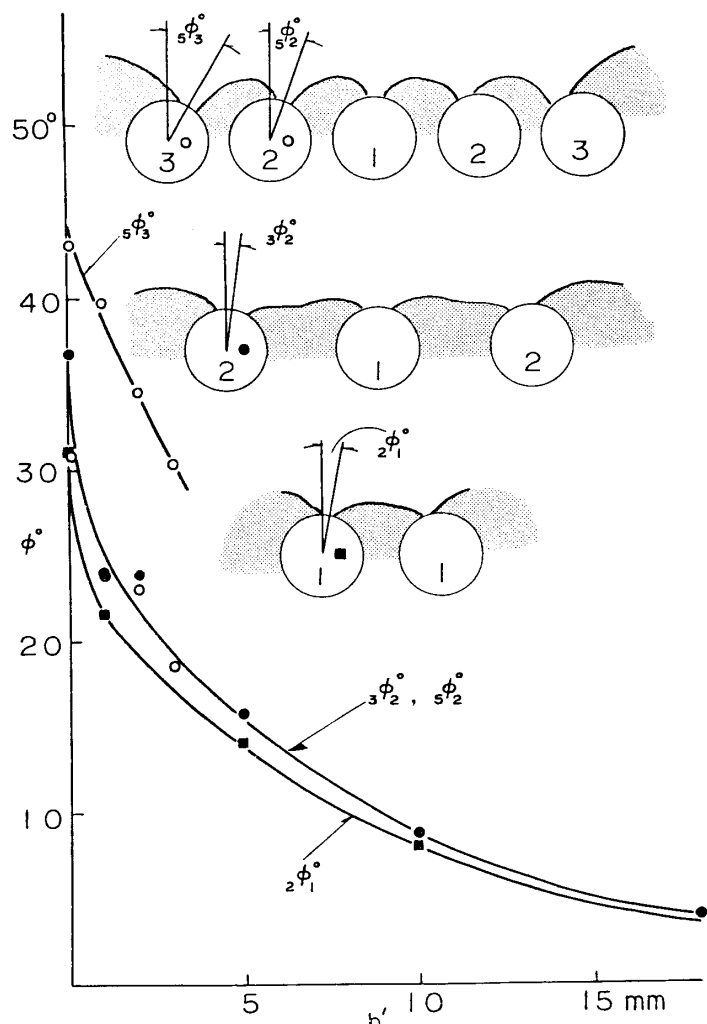
3. 鉛直位置の写真では、 h' を変えて行なったとき、nozzle flowの後方に生ずる波のpatternの変化は、大体において2本の場合と同じである。 h' が大きいところでは複雑な、かつ不安定な形をしていた波が、 $h'=2$ mmにおいて、鮮明な直線的な一つの波になってしまふ。2本の場合も同じ経過をたどるが、そのような写真は $h'=5$ mmの場合に見られた。

4. 鉛直位置の写真で、観測窓の下端に、やや不規則な大きな弧状の波が見られる。この波は2.)で指摘した波とは別であるが、成因は互いに関連性があるものと想像される。

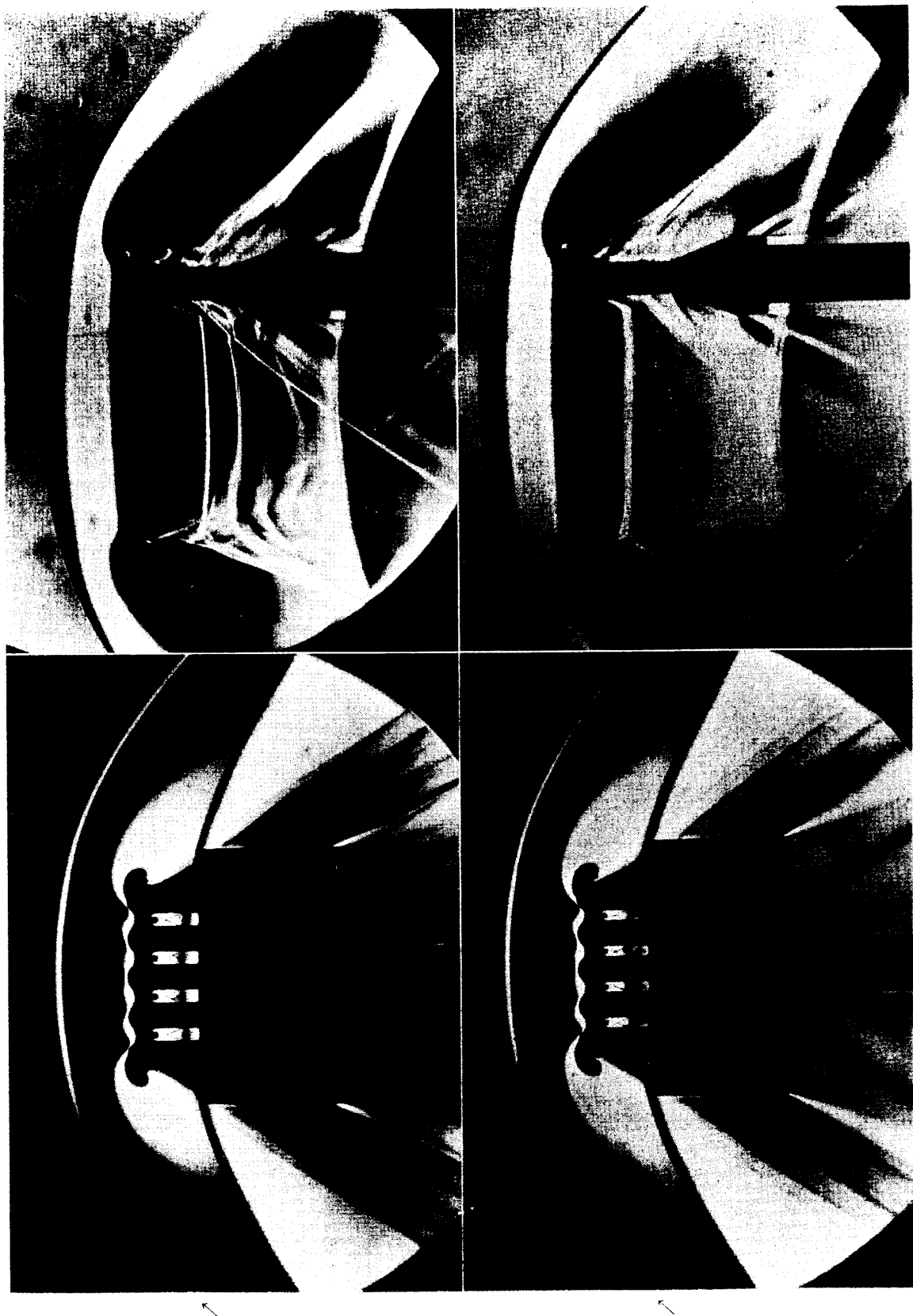
5. 水平位置の写真からえられる知識のうち、もっとも重要なのは、弧状衝撃波の波面の解析と、円柱のstagnation pointの位置の測定である。前者については次節にゆずり、後者の測定について述べることにする。

第9表

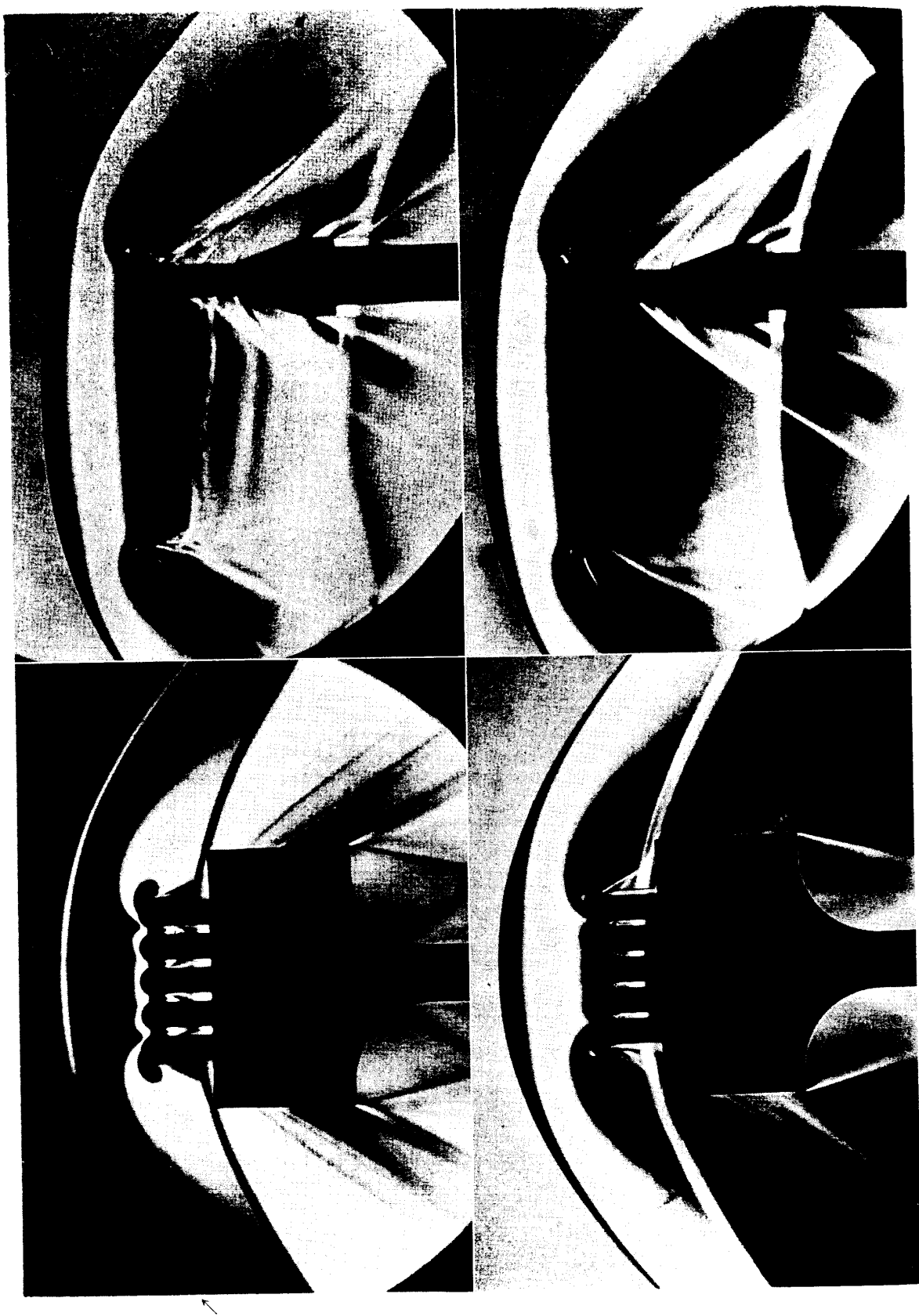
| h' (mm) | ${}^3\varphi_2^0$ | ${}^5\varphi_2^0$ | ${}^5\varphi_3^0$ |
|--------------|-------------------|-------------------|-------------------|
| 18 | 3.8 | | |
| 10 | 8.7 | | |
| 5 | 15.7 | | |
| 3 | | 18.5° | 30.3° |
| 2 | 23.8 | 23.0 | 34.5 |
| 1 | 24.0 | 24.1 | 39.7 |
| 0 | 36.8 | 30.8 | 43.0 |



第21図



図版 5. (a) 5-①-2-4, L; (b) 5-①-4-2, R, $h' = 3$ mm. (c) 5-②-1-6, L; (d) 5-②-2-3, R, $h' = 2$ mm.



[図版 6. (a) 5-(3)-1-6, L; (b) 5-(3)-3-3, R, $h' = 1$ mm. (c) 5-(4)-1-2, R; (d) 5-(4)-2-2, R, $h' = 0$.

2本の場合に、stagnation point と円柱の中心を結ぶ直線が一様流となす角を φ^0 とした。しかし円柱の数が増した場合には、この記号では不充分で、全体の円柱の数と、中央から何本目の円柱に相当するかを示す数が必要となる。そこで前者を φ の左下に、後者を右下に記すこととした。すると従来の φ^0 は ${}_2\varphi_1^0$ と改められる。

3本の場合の測定値は第9表、および第21図に示してある。図からわかるように ${}_3\varphi_2^0$ は、 ${}_2\varphi_1^0$ とは別の曲線によって表わされる。

3. 5本の平行な円柱

写真是図版5,6に示してあるが、特に注意すべき点を下に列記する。

1. 図版5(a)、および(c)、図版6(a)はL-cutによる写真であるから、shock envelopeは非常に細い白い線となって見られる。しかし、それは一見しただけでは見がたく、その下の太い白い帯状の部分と混同しやすいので念のため左側に矢印で、envelopeの位置を示しておいた。

2. 前項でのべたように、水平位置の写真では楔の前に、鉛直位置の写真では楔の後に、大きな弧状の波が見られる。

3. 鉛直位置の写真で、 $h'=3\text{ mm}$ において、nozzle flowの後方に鮮明な波がみられるが、この状態は、むしろ3本の場合の $h'=5\text{ mm}$ の写真に近いようである。そして $h'=2\text{ mm}$ の写真の波は鮮明を欠くとはいえ、3本の場合の $h'=2\text{ mm}$ の写真の状態に近いものと思われる。

4. ${}_5\varphi_2^0$, ${}_5\varphi_3^0$ の実測値は第9表、および第21図に示してある。図から、測定誤差を考慮するなら

$${}_5\varphi_2^0 = {}_5\varphi_3^0 \quad (31)$$

であることがわかる。(31)式を更に一般化して考えると、奇数円柱列の場合は ${}_{2m+1}\varphi_n^0$ (ただし $m+1 \geq n$)、偶数円柱列の場合は ${}_{2m}\varphi_n^0$ (ただし $m \geq n$)が、 m, n に対してどのような値をとるかということが、多数平行円柱列の抵抗を論ずるとき、重要な問題になると想像される。

6. 円柱列の周りの衝撃波面の解析

1. 3本の平行な円柱

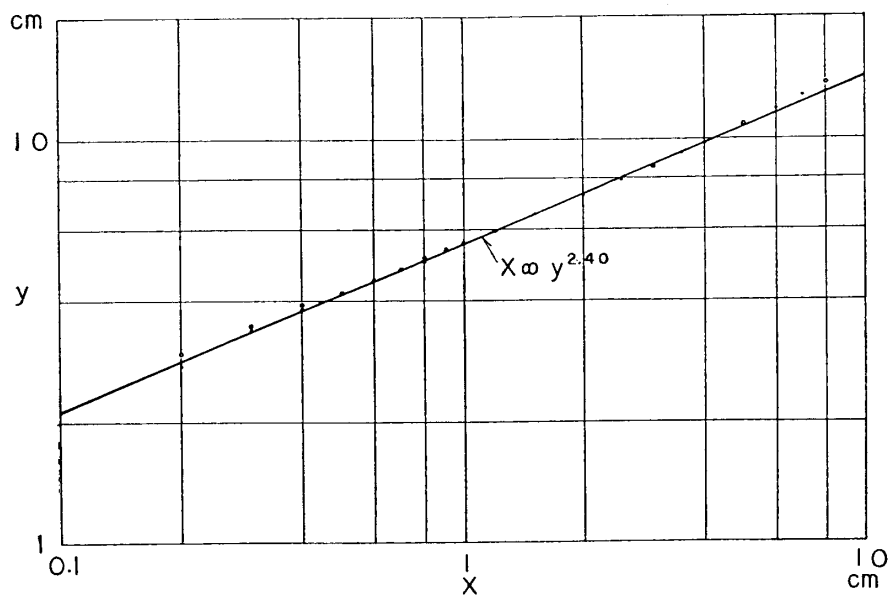
2本の平行な円柱の周りのshock envelopeの解析は第2報[2]において報告したが、本报においても全く同じ方法を3本、および5本の場合に適用して見る。

流れを完全に理解するには、shock envelopeを三次元的に扱わなくてはならないので、水平および鉛直位置の写真の解析が必要であるが、今回は時間的余裕がないので水平位置の解析のみにとめる。

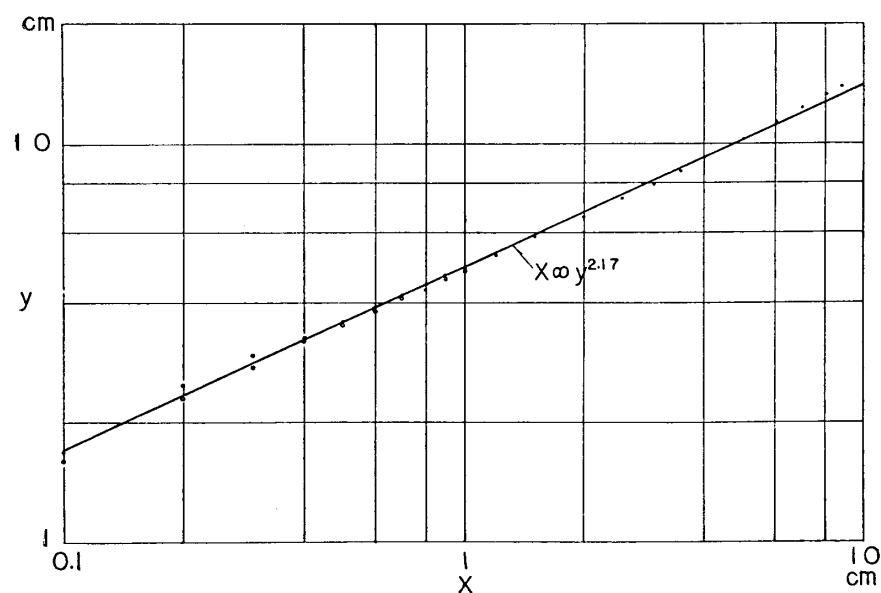
x 軸を一様流の方向にとり、 y 軸をそれと直角の方向にとる。長さの単位はcmで、円柱の直径に関して長さを無次元化する手続きは行なわなかった。

測定の結果は第22~27図に示してある。そして観測された波面の、かなり広い範囲が

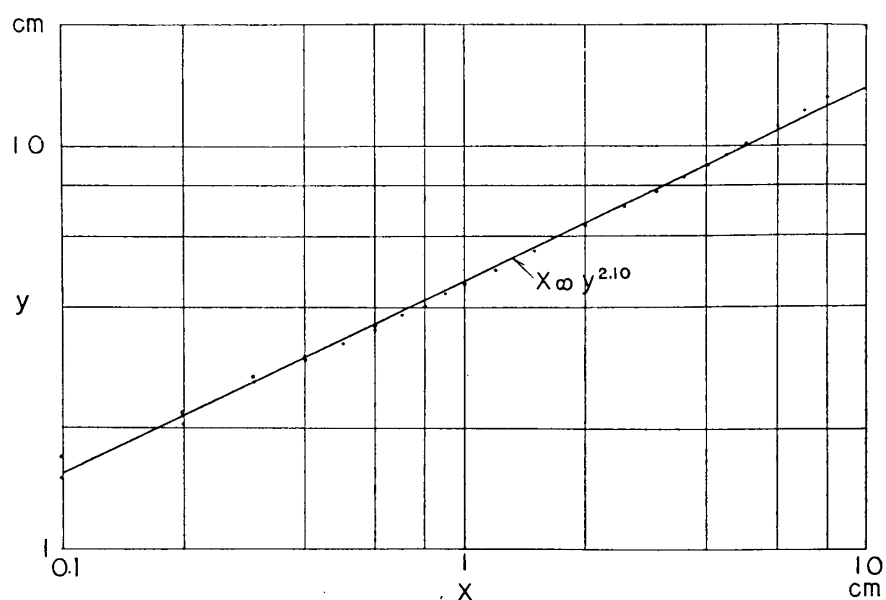
$$x = ay^n \quad (32)$$



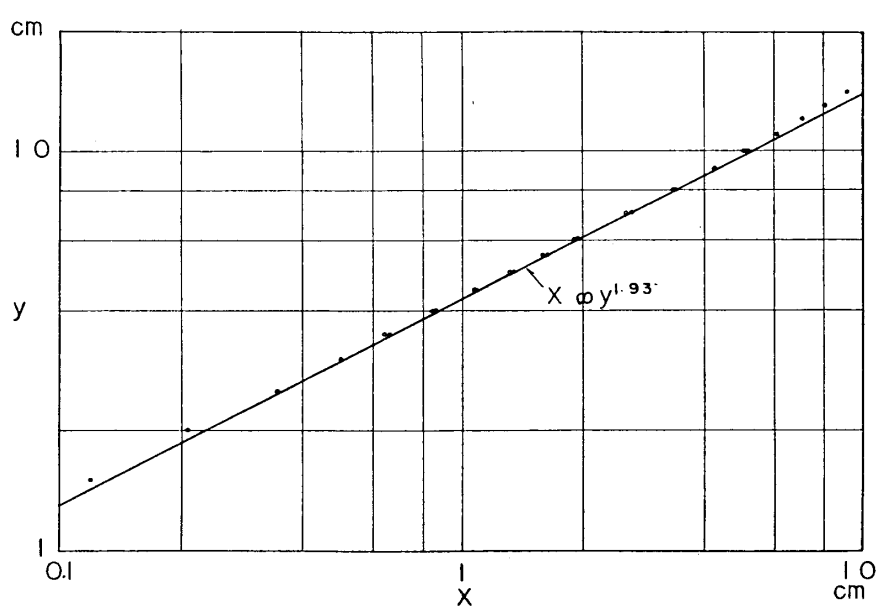
第 22 図



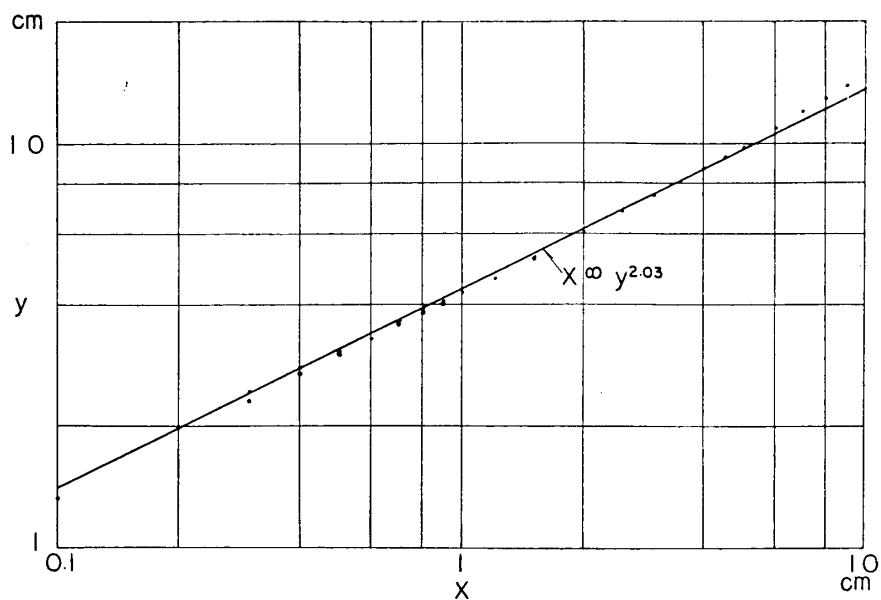
第 23 図



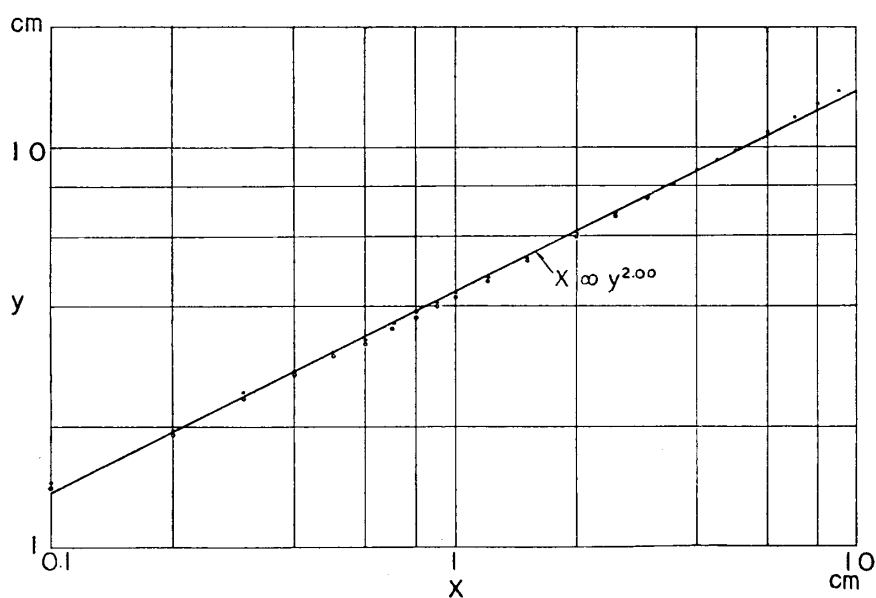
第24図



第25図



第 26 図



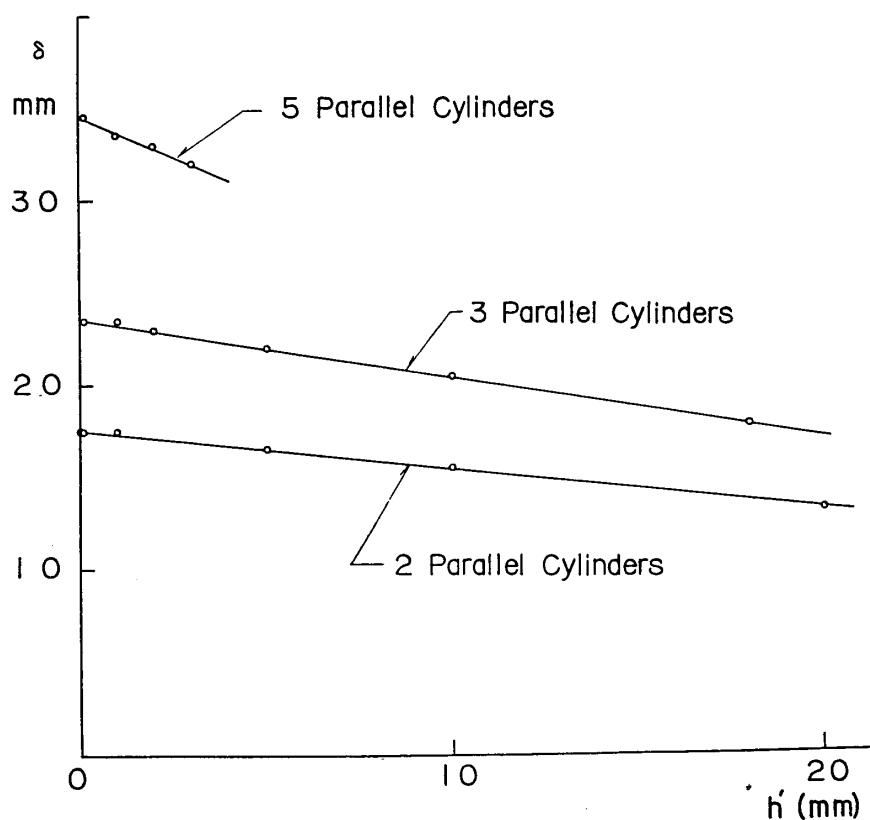
第 27 図

第10表

| Film No. | h' (mm) | δ (mm) | a | n |
|------------|-----------|---------------|--------|------|
| 3-①-3-7 | 18 | 18 | 0.0169 | 2.40 |
| -②-1-6 | 10 | 20.5 | 0.0320 | 2.17 |
| -③-1-3 | 5 | 22 | 0.0407 | 2.10 |
| -④-1-2* | 2 | 23 | 0.0577 | 1.94 |
| -3-3** | | | 0.0614 | 1.93 |
| -⑤-1-3 | 1 | 23.5 | 0.0507 | 2.03 |
| -⑥-1-3 & 2 | 0 | 23.5 | 0.0536 | 2.00 |

* 1端の円柱に振動あり。

** 振動なし。

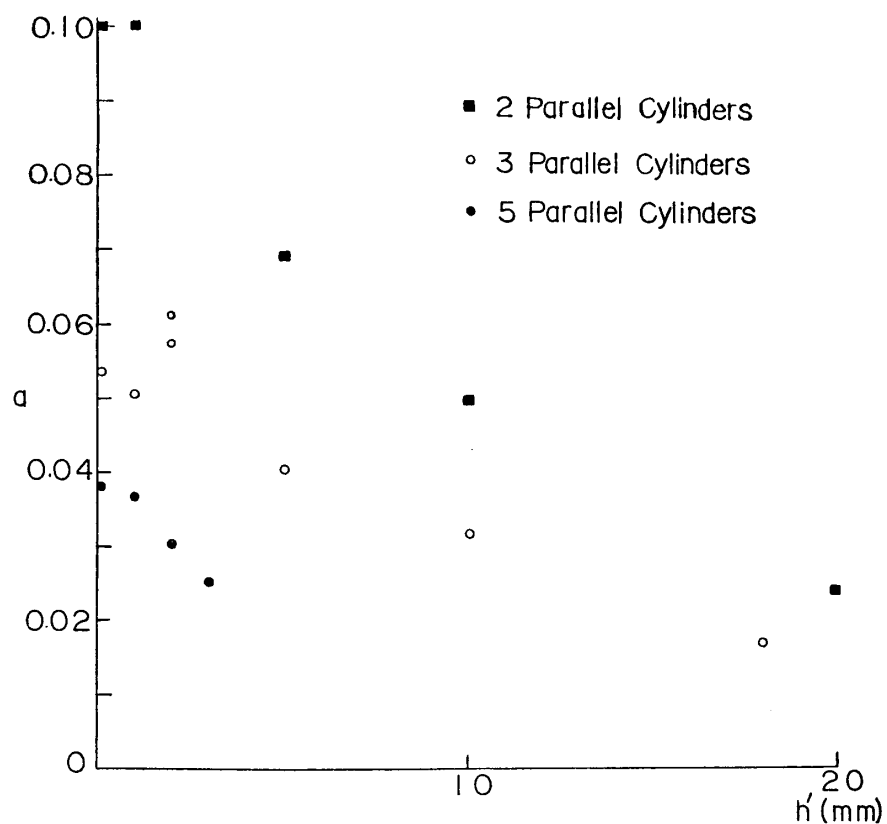


第28図

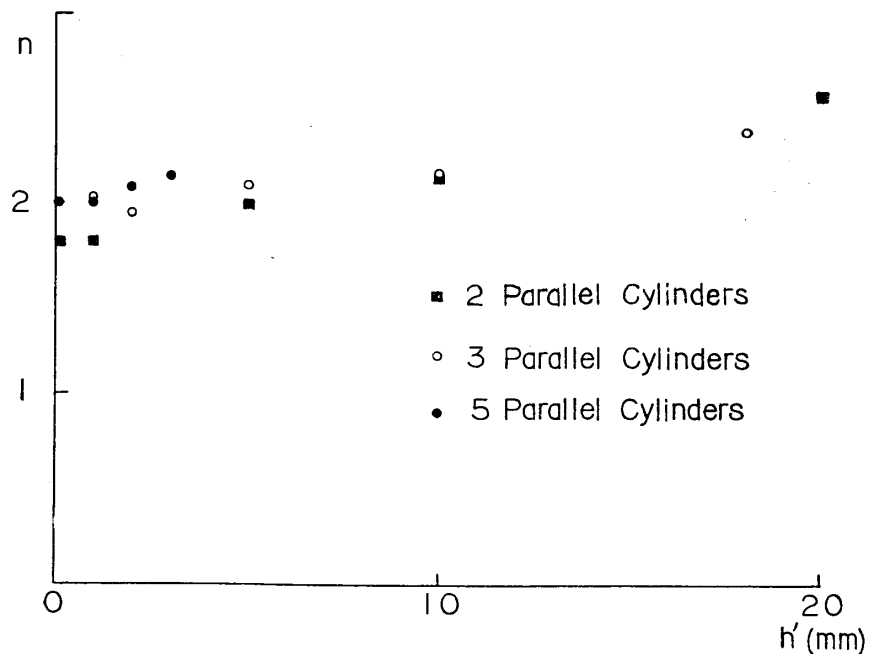
なる方程式において、 a , n に適當な數値を用いることによって、表わされることがわかった。また離れ距離 δ (mm) も測定した。これらの値はすべて第10表にしめしてある。

δ は h' の減少と共に、ほぼ直線的に増してゆくことは第28図に示したとおりである。

a および n と h' との関係は第29、および30図にしめしてある。大体の傾向は2本の場合と似ているが、 h' の範囲が狭いので、一般式を作ることはできなかった。特に奇妙な事実は、 $h'=2$ mmにおいて、一般的傾向から著しく離れるということである。それは端の



第 29 図



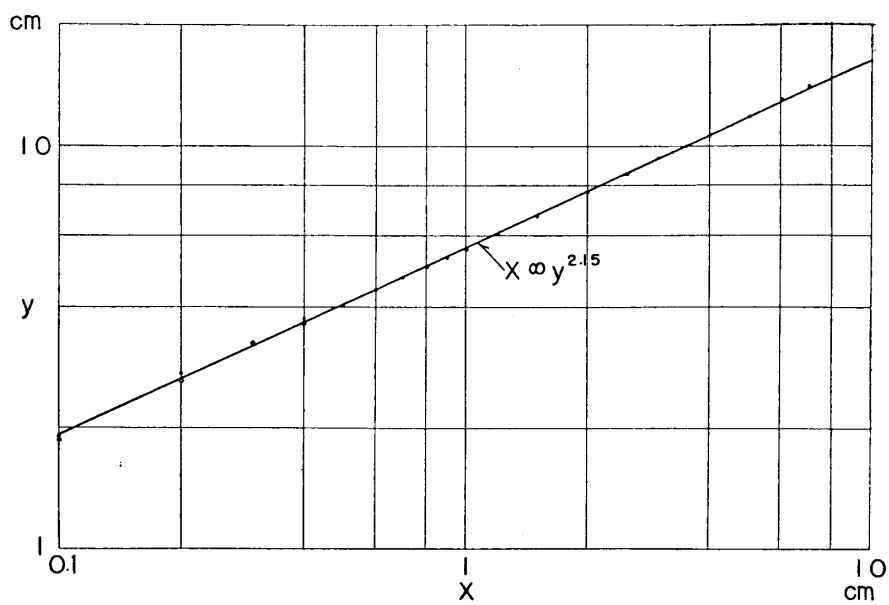
第 30 図

円柱が振動した場合のみでなく、正常な場合も同じように特異な傾向を示した。

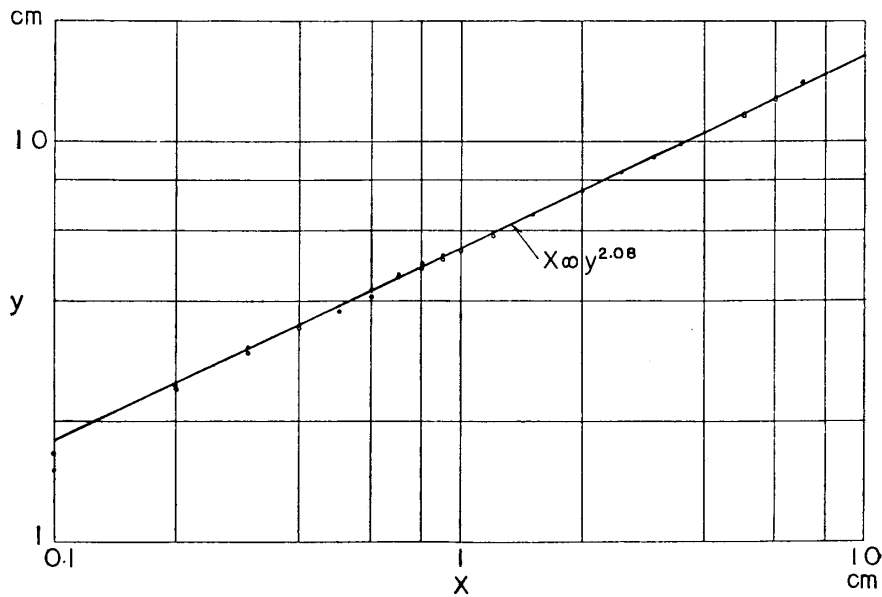
2. 5本の平行な円柱

測定の結果は第31~34図、および第11表に示してある。5本の場合は(32)式は、観測された、ほぼ全領域にわたって成立する。

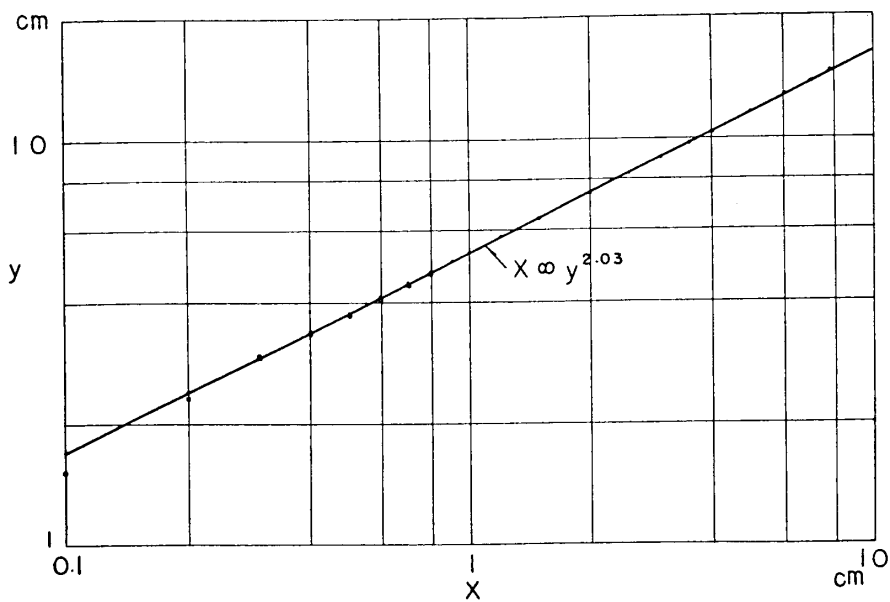
さらに著しい事実は、3本および5本の場合は、 h' を小さくすると、 n は2.00に漸近する。すなわち放物線による表示が正確に適用される。



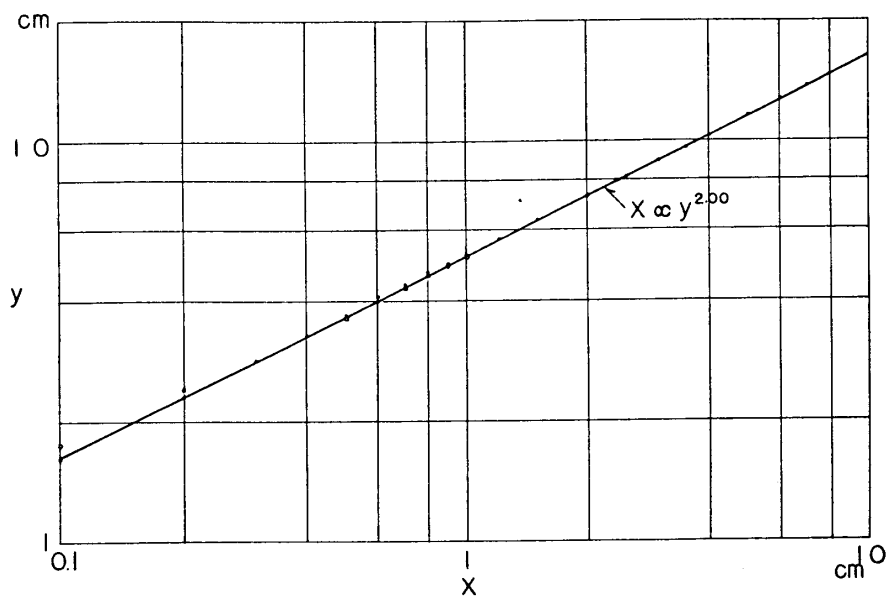
第31図



第32図



第 33 図



第 34 図

第 11 表

| Film No. | h' (mm) | δ (mm) | α | n |
|------------|-----------|---------------|----------|------|
| 5-①-1-3 | 3 | 32 | 0.0251 | 2.15 |
| -②-1-2 | 2 | 33 | 0.0302 | 2.08 |
| -③-1-3 | 1 | 33.5 | 0.0348 | 2.03 |
| -④-1-2 & 3 | 0 | 34.5 | 0.0381 | 2.00 |

謝 辞

この研究の費用の一部は著者の一人が日本学術振興会より流動研究員として補助されたものである。ここに日本学術振興会に対し深く感謝します。またこの研究を行なう機会を与えられた航空研究所長谷 一郎教授、本研究に協力者として参加せられ、多くの有益な示唆を与えた今井 功教授、佐藤 浩教授、小口伯郎教授、橋本英典助教授、陰に陽に協力して頂いた福井四郎氏、辛島桂一氏、本間弘樹氏、安喜隆幸氏、風洞運転を協力して頂いた久保田英也氏、佐藤 清氏、FASTAX を貸与せられた航空宇宙技術研究所の中村泰治氏その他好意をよせられた多くの方々に対し心からお礼申上げます。

文 献

- [1] 超音速および極超音速における円柱列の研究、第1報 超音速における2本の平行な円柱の抵抗、河村龍馬、沢田孝士、関 和市（東京大学航空研究所集報、第3巻、第6号（A）、通巻第20号、pp. 283～318、1963年6月）。
- [2] 超音速および極超音速における円柱列の研究、第2報 超音速における2本の平行な円柱の周りの衝撃波、河村龍馬、沢田孝士、関 和市（東京大学航空研究所集報、第3巻、第7号、通巻第21号、pp. 619～630、1963年9月）。
- [3] S. Goldstein: Modern Developments in Fluid Dynamics, Volume II (Oxford University Press, 1938), p. 426. Goldstein から引用した表面摩擦係数の値 0.03 は非圧縮性の流れにおいて、えられたものである。したがつて、これを超音速の流れに対して適用するためには、若干の補正を必要とする。しかし、補正のいかんにかかわらず、その絶対値は、全体の抵抗係数に比して、精々 10^{-2} 程度の大きさであつて、抵抗のみを考察する場合にはあまり重要ではないから、本文において数値の補正を行なわなかつた。

第2報の訂正

頁 624 の第6図と第7図の図を入れ換える。